

# AUTONOMISTEN ALUSTOJEN PAIKANNUSJÄRJESTEL- MIEN MÄÄRITYS

Sampo Haapalainen

Opinnäytetyö

Tieto- ja viestintäteknikka  
Insinööri (AMK)

2022

Tieto- ja viestintäteknikka  
Insinööri (AMK)

---

<b>Tekijä</b>	Sampo Haapalainen	<b>Vuosi</b>	2022
<b>Ohjaaja</b>	Tommi Kokko		
<b>Toimeksiantaja</b>	Lapland Robotics		
<b>Työn nimi</b>	Autonomisten alustojen paikannusjärjestelmien määrittäminen		
<b>Sivu- ja liitesivumäärä</b>	50 + 2		

---

Opinnäytetyön tavoitteena oli määrittää paikannusjärjestelmiä autonomisten alustojen käyttöön Lapin ammattikorkeakoulun Lapland Robotics -hankkeelle. Hankkeen alustat oli suunniteltu prototyyppiä kunnossapitotehtäviin, kuten lumen auraamiseen ja linkoamiseen sekä fat bike -radan kunnossapitoon.

Paikannusjärjestelmien toimivuuden vuoksi työssä oli tarkoitus kokeilla erikseen sisä- ja ulkokäyttöisiä paikannusjärjestelmiä. Paikantamista testattiin kampuksen kellarikerroksessa ja rakennuksen takapihalla.

Alkuperäisissä suunnitelmissa oli hyödyntää Marvelmind-, Novatel- ja Poxyz-järjestelmiä sekä erillistä GPS-moduulia ESP32-mikrokontrollerin kanssa. Näistä järjestelmistä tai laitteistoista Marvelmind- ja Poxyz-järjestelmät suunniteltiin soveltuvan sisäkäyttöön, ja Novatel-järjestelmä sekä erillinen GPS-moduuli oli tarkoitus määrittää ulkokäyttöön. Alun perin suunniteltua Pozyx-laitteistoa ei ollut mahdollista tutkia tai testata laitteiston saatavuuden vuoksi. Työssä kului paljon aikaa ulkopaikannusjärjestelmän kehittämisessä, ja osa ajasta kului myös Marvelmind-laitteiston toiminnallisuuden tutkimisessa.

Työn lopputuloksena oli GPS-paikannin, joka soveltui ulkokäyttöön. Tätä paikanninta kehitettiin ROS-ympäristöstä virtuaaliseen Carla-ympäristöön asti, jossa dataa on mahdollista käsitellä jatkossa lisää alustan toiminnoille. Sisäkäyttöisistä paikannusjärjestelmistä valitulla Marvelmindilla ehdittiin tekemään muutamia kokeiluja ja selvityksiä.

Avainsanat

autonomiset järjestelmät, GPS, paikannus

Degree Programme in Information  
and Communication Technology  
Bachelor of Engineering

---

<b>Author</b>	Sampo Haapalainen	Year	2022
<b>Supervisor</b>	Tommi Kokko		
<b>Commissioned by</b>	Lapland Robotics		
<b>Subject of thesis</b>	Configuration of Autonomous Platform Positioning Systems		
<b>Number of pages</b>	50 + 2		

---

The aim of this thesis study was to configure positioning systems for autonomous platforms. The study was done to a Lapland University of Applied Sciences project named Lapland Robotics. Project's platforms were designed as prototypes in winter maintenance tasks such as snow pushing and blowing and for fat bike trail maintenance.

Indoor and outdoor positioning systems were tested separately due to the functionality of the positioning systems. Positioning was tested in the basement of the campus and in the backyard of the building.

The original plan was to test Marvelmind, Novatel and Pozyx systems as well as separate GPS module with ESP32 microcontroller. From these systems or hardware Marvelmind and Pozyx were designed for indoor use, and the Novatel system as well as separate GPS module were to be set up for outdoor use. It was impossible to test or research the originally planned Pozyx hardware due to problems in hardware availability. A lot of time was spent in the development of the outdoor positioning system, and part of the time went also in the research of Marvelmind hardware functionality.

The result of the study was a GPS locator which is suitable for outdoor use. This locator was developed all the way to the virtual Carla environment where it is possible to process the data further for the functions of the autonomous platforms. As far as indoor positioning was concerned there was time to conduct a few pieces of experiments and studies of the chosen Marvelmind hardware.

Key words

autonomous systems, GPS, positioning

## SISÄLLYS

1	JOHDANTO .....	8
2	GPS-PAIKANTAMINEN .....	10
2.1	GPS-paikannusjärjestelmän historia .....	10
2.2	GPS-paikantamisen perusteet .....	11
3	ULKOPAIKANNUSJÄRJESTELMÄ .....	13
3.1	Kokoonpanon ominaisuudet .....	13
3.1.1	ESP32-WROOM-32D .....	14
3.1.2	Grove GPS SIM28 .....	15
3.2	Tarvittavat kytkennät .....	15
3.3	Kehitysympäristön määrittäminen .....	16
3.4	Mikrokontrollerin koodi .....	18
3.4.1	Esimerkkikoodin testaaminen ja ymmärtäminen .....	18
3.4.2	Esimerkkikoodin muokkaaminen .....	19
3.5	Paikantamisen testaaminen .....	22
3.5.1	Testaamisen tukena käytetyt ohjelmat .....	24
3.5.2	Verkkoyhteyden jatkaminen WiFi-antennien avulla .....	25
3.5.3	Erillinen verkkoyhteys .....	27
3.6	Paikkatiedon lähettäminen Carla-ympäristöön .....	31
3.6.1	Tiedonvälityksen selvittäminen .....	33
3.6.2	Tiedonvälityksen vianmäärittäminen .....	36
3.6.3	Tiedonvälityksen testaaminen .....	37
3.6.4	Lopullisen tiedonvälityksen testaaminen .....	39
4	SISÄPAIKANNUSJÄRJESTELMÄ .....	41
4.1	Kokoonpanon ominaisuudet .....	42
4.2	Arkkitehtuurien väliset erot .....	43
4.2.1	Ei-käänteinen arkkitehtuuri .....	43
4.2.2	Käänteinen arkkitehtuuri .....	43
4.3	Määrittäminen .....	44
5	POHDINTA .....	48
	LÄHTEET .....	49
	LIITTEET .....	51

## KÄYTETYT LYHENTEET JA TERMIT

aihe	ROS-järjestelmässä solmun tiedonvälityksen väylä (ROS 2022g)
baudinopeus	sarjamonitorin ja mikrokontrollerin tiedonvälityksessä käytetty nopeus
BeiDou	vuonna 2020 Kiinan kansantasavallan käyttöönottava satelliittijärjestelmä (National Coordination Office for Space-Based Positioning, Navigation, and Timing 2021)
Carla	Unreal Engine -pelimoottoriin ja Rosbridge-protokollaan perustuva virtualisointiympäristö
Export	Linux-järjestelmissä käytetty hakemistojen tai tiedostojen polkuja määrittävä komento
Firmware	laitteistoon perustuva ohjelmisto
Galileo	vuonna 2016 Euroopan Unionin käyttöönottava satelliittijärjestelmä (National Coordination Office for Space-Based Positioning, Navigation, and Timing 2021)
Glonass	Globalnaya Navigazionnaya Sputnikovaya Sistema, Neuvostoliiton aikana kehitetty, nykyisin Venäjän federaation hallinnoima satelliittipaikannusjärjestelmä (National Coordination Office for Space-Based Positioning, Navigation, and Timing 2021)
GNSS	Global Navigation Satellite System, usean maan tai maanosan satelliiteista koostuva yhtenäinen satelliittipaikannusjärjestelmä (Maanmittauslaitos 2022)

GPS	Global Positioning System, Yhdysvaltain kehittämä satelliittijärjestelmä
Hedge	Marvelmind Robotics -yhtiön kehittämä ultraääneen perustuva kannettava majakka
HUD-arvo	Unreal Editorin kamerassa näkyvät arvot
IA	Marvelmind-majakoiden hyödyntämä käänteinen arkkitehtuurin rakenne
NavIC	Intian mantereen alueella toimiva, Intian hallinnon omistama satelliittijärjestelmä (National Coordination Office for Space-Based Positioning, Navigation, and Timing 2021)
NIA	Marvelmind-majakoiden hyödyntämä ei-käänteinen arkkitehtuurin rakenne
Predator	robotiikkalaboratorion hyödyntämä työasema Acer Predator G3-710
Publisher	ROS-ympäristössä dataa julkaiseva tai lähettävä aiheen tyyppi
QZSS	Japanin hallituksen omistama ja QZS System Service Inc. -yhtiön hallinnoima satelliittijärjestelmä (National Coordination Office for Space-Based Positioning, Navigation, and Timing 2021)
ROS	robotiikan kehittämiseen suunniteltu järjestelmä (ROS 2022a)

Rosbridge	Rosserial-liikenteen siltana ja Carla-ympäristön tukena toimiva protokolla (ROS 2022c)
Roscore	ROS-järjestelmän ydin sisältää järjestelmässä suoritettavat solmut ja ohjelmat (ROS 2022d)
Rosserial	ROS-ympäristön verkkoyhteyksien muodostamisessa käytetty protokolla (ROS 2022f)
ROS-palvelin	ROS-järjestelmään perustuva palvelin
solmu	ROS-järjestelmän laskentaan perustuva prosessi (ROS 2022b)
Source	Linux-komentotulkin käyttämien tiedostojen polkua tallentava komento (GeeksforGeeks 2021)
Submap	majakoiden alikartta Marvelmind Dashboard -ohjelmistossa
Subscriber	ROS-järjestelmän tietoa vastaanottava tai tilaava aiheen tyyppi
TCP	ESP32-mikrokontrollerin ja WiFi-tukiaseman hyödynnä tämä verkkoprotokolla
UWB	Ultra-wideband, ultraääneen perustuva radioteknologia
VNC	Linux-järjestelmien väliselle etätyöpöytäyhteydelle käytetty protokolla
WiFi-suoritinkanta	WiFi-yhteys tai <i>WiFi-socket</i> , jonka kautta mikrokontrolleri pystyy lähettämään tietoa ROS-palvelimelle

## 1 JOHDANTO

Nykyisin paikannusteknologiat ovat entistä yleisempiä ja kehityksen myötä tarjolle on tullut monenlaisia ratkaisuja. Eri paikannusteknologioita on mahdollista hyödyntää eri käyttötarkoituksiin, ja siksi niillä on omat vahvuutensa ja heikkoutensa. Paikannusteknologioita hyödynnetään lisääntyvästi teollisuudessa ja autonomisissa ympäristöissä.

Tällä opinnäytetyöllä selvitetään, mitkä valituista paikannusjärjestelmistä soveltuvat parhaiten Lapland Robotics -hankkeen autonomisten alustojen käyttöön. Työssä esitetään niitä paikannusjärjestelmiä, joilla tehdään kokeiluja eri ympäristöissä. Työ edellyttää ohjelmointia ja koodin soveltamista, jotta paikannukseen liittyvää tietoa saadaan käsiteltyä jatkossa autonomisten alustojen muihin toiminnallisiin tarpeisiin. Työssä tulee tutuksi myös autonomisten alustojen kehitykseen käytetty ROS-ympäristö.

Projektissa käytettiin eri työvaiheita, jotka oli jaettu selvitys-, määrittämis- ja testausvaiheisiin. Selvitysvaiheessa selvitettiin työn aikana kohdattuja ongelmatilanteita, määrittämisvaiheessa asennettiin tarvittavat ohjelmistot ja toteutusvaiheessa keskityttiin ohjelmointiin tai laitteiston käyttöön.

Paikannusjärjestelmien ansiosta saadaan alustojen tarkka paikkatieto selvitettyä. Paikkatiedosta hyödytään pääasiallisesti talviaikaan tapahtuvissa kunnossapitotehtävissä, kuten lumen auraamisessa ja linkoamisessa sekä fat bike -ratojen kunnossapidossa. Autonomiset alustat käyttävät sisä- ja ulkotilojen paikannuksessa erillisiä laitteistoja.

Ulkokäyttöisen paikannusjärjestelmän tuloksena on ohjelma, jota käytetään ESP32:n ja Grove GPS -moduulin kanssa. Sisäkäyttöisistä paikannusjärjestelmistä Marvelmind-laitteisto saatiin määritettyä ja testattua. Alkuperäisten suunnitelmien Pozyx-järjestelmää ei ollut mahdollista määrittää laitteiston saatavuuden vuoksi. Tämän lisäksi Novatel-järjestelmän määrittäminen otettiin myöhemmin pois paikannusjärjestelmien vaihtoehdoista työn aikataulun vuoksi.

Opinnäytetyössä hyödynnetty robotiikkalaboratorion testialue mahdollistaa paikannusjärjestelmien toimivuuden testaamisen, jonka avulla saadaan varmistettua järjestelmien kelpoisuutta tarvittaviin tilanteisiin. Järjestelmien kelpoisuuden testaamista voidaan kutsua englannin kielen termillä *Proof-of-Concept*, joka tarkoittaa suomeksi konseptitodistusta.

Hankkeen autonomiset alustat pyrkivät tulevaisuudessa hyödyntämään paikantamisen lisäksi myös odometriaa. Odometrian avulla pystytään laskemaan esimerkiksi alustan kulkema matka antureista saatujen tietojen perusteella.

## 2 GPS-PAIKANTAMINEN

### 2.1 GPS-paikannusjärjestelmän historia

GPS-paikannukseen perustuvien järjestelmien kehitys juontaa juurensa 1910-luvulle, jolloin ensimmäiset laitteistot olivat radionavigointijärjestelmiä. Järjestelmiä kehitettiin alun perin meri- ja ilmaliikenteen helpottamiseksi. Myöhemmin kehittyi idea satelliittijärjestelmistä, joiden kehitys aloitettiin vuonna 1973 Yhdysvalloissa. Koska erillisiä järjestelmiä oli jo ennestään olemassa, päätettiin aikaisemmat järjestelmät yhdistää yhdeksi Navstar GPS -sotilasjärjestelmäksi. (Henttu & Lehtoranta 1993, 9.)

Navstar GPS -järjestelmästä syntyi vuosien aikana maailmanlaajuinen paikannusjärjestelmä, jonka paikannustietoja hyödynnetään päivittäin siviilikäytössä ja viranomaistahojen puolella eri tehtävissä (Henttu & Lehtoranta 1993, 15). Järjestelmää ylläpidetään vähintään 24:llä Maata kiertävällä satelliitilla. Nykyisin toimintakelpoisia satelliitteja on kaiken kaikkiaan 26 – 30 kappaletta. (National Coordination Office for Space-Based Positioning, Navigation, and Timing 2022.)

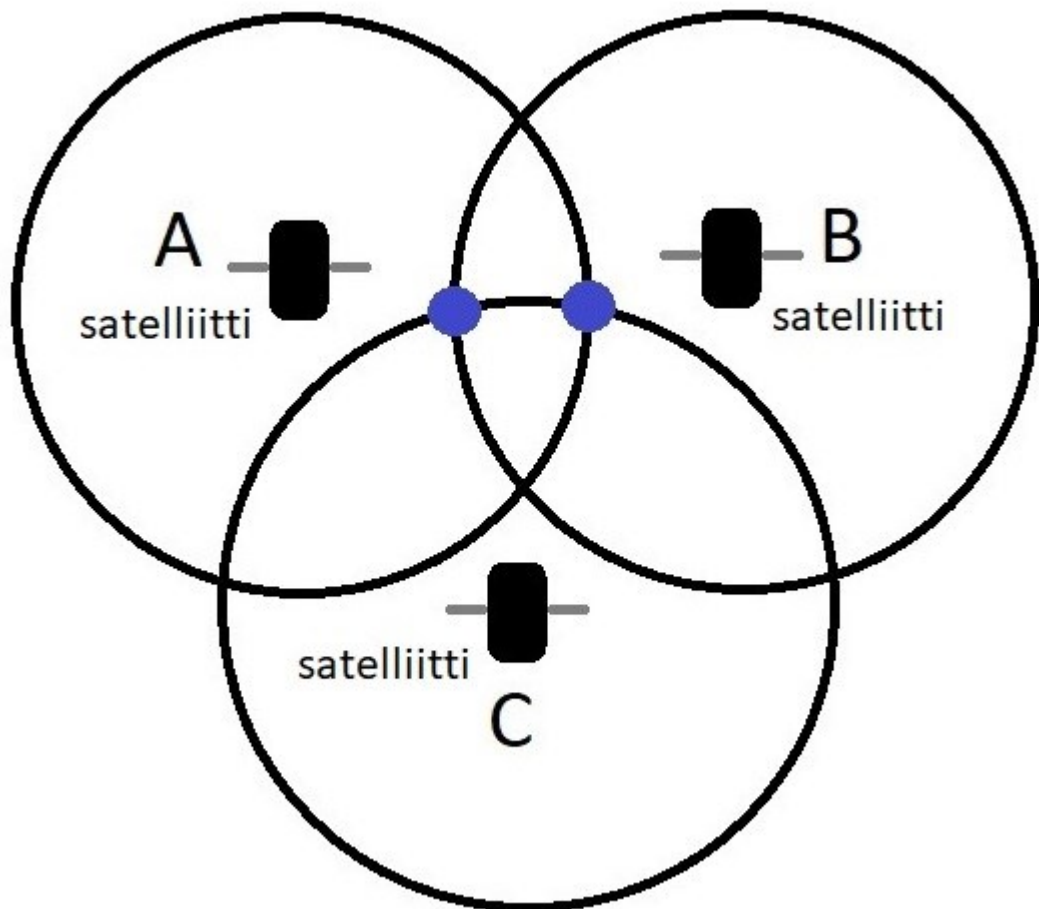
Yhdysvaltain lisäksi Neuvostoliitto kehitti aikoinaan oman Glonass-satelliittipaikannusjärjestelmän, jonka satelliitteja laukaistiin Maan kiertoradoilleen Tjuratamista 12.10.1982. Vuoden 1993 loppupuolella satelliitteja oli käytössä yli 60 kappaletta. Myöhemmin sekä GPS- että Glonass-järjestelmät oli tarkoitus yhdistää yhtenäisjärjestelmäksi, joka tunnetaan nykyisin lyhenteenä GNSS. (Henttu & Lehtoranta 1993, 86.) Tähän järjestelmään kuuluu nykyisin myös Euroopan ja Kiinan satelliittijärjestelmät (Maanmittauslaitos 2022).

Aikaisemmin mainittujen satelliittipaikannusjärjestelmien lisäksi tunnetaan lukuisia muita järjestelmiä alueellisesti ja globaalisti. Toiminnassa olevia järjestelmiä on muun muassa Euroopalla (Galileo), Kiinalla (BeiDou), Intialla (NavIC) ja Japanilla (QZSS). (National Coordination Office for Space-Based Positioning, Navigation, and Timing 2021.)

## 2.2 GPS-paikantamisen perusteet

GPS-paikantaminen sisältää satelliittien etäisyyden mittausta ja GPS-signaalin ajoitusta. Paikantamista on helpointa ajatella kolmiulotteisesti, jolloin jokainen satelliitti voidaan ajatella oman ympyränsä sisälle. Ympyröiden kohdatessa päästään määrittämään etäisyyksien pisteet. (Henttu & Lehtoranta 1993, 22, 23, 32.)

Etäisyyden mittauksessa voidaan hyödyntää kolmea satelliittia. Kolmas satelliitti rajaa kohteen sijainnin kahden muun satelliitista saadun pisteen välille. Tämänkaltaisesta tilanteesta nähdään esimerkki kuvion 1 mukaisesti, jonka satelliitti C rajaa sijainnin satelliittien A ja B sinisten pisteiden välille. Lisämittaukset ovat kuitenkin tarpeen paikantamisen tarkkuudelle. On myös hyvä ottaa huomioon sijaintipaikan korkeus, sillä korkeuden tietäminen vähentää laskettavia satelliittimitauksia yhdellä. Kohteen etäisyyksien mittauksissa periaatteena on kolmioida paikannettavan kohteen sijainti. (Henttu & Lehtoranta 1993, 22, 24.)



Kuvio 1. Satelliittien etäisyyksien mittaus

Etäisyysmittaukset lasketaan nopeuden ja ajan avulla. Kun molemmat arvot kerrotaan, saadaan tulokseksi kuljettu matka. Koska GPS-järjestelmä toimii radiotekniikalla, käytetään radioaaltojen kulkemaa nopeutta. Radioaallot kulkevat noin 300 000 kilometriä sekunnissa. Matkaan kulunut aika saadaan vertailemalla radiosanoman lähetettyä ja vastaanotettua aikaa. Lopulta saadaan etäisyyden, kun laskettu aikaero kerrotaan radioaaltojen nopeudella. (Henttu & Lehtoranta 1993, 26.)

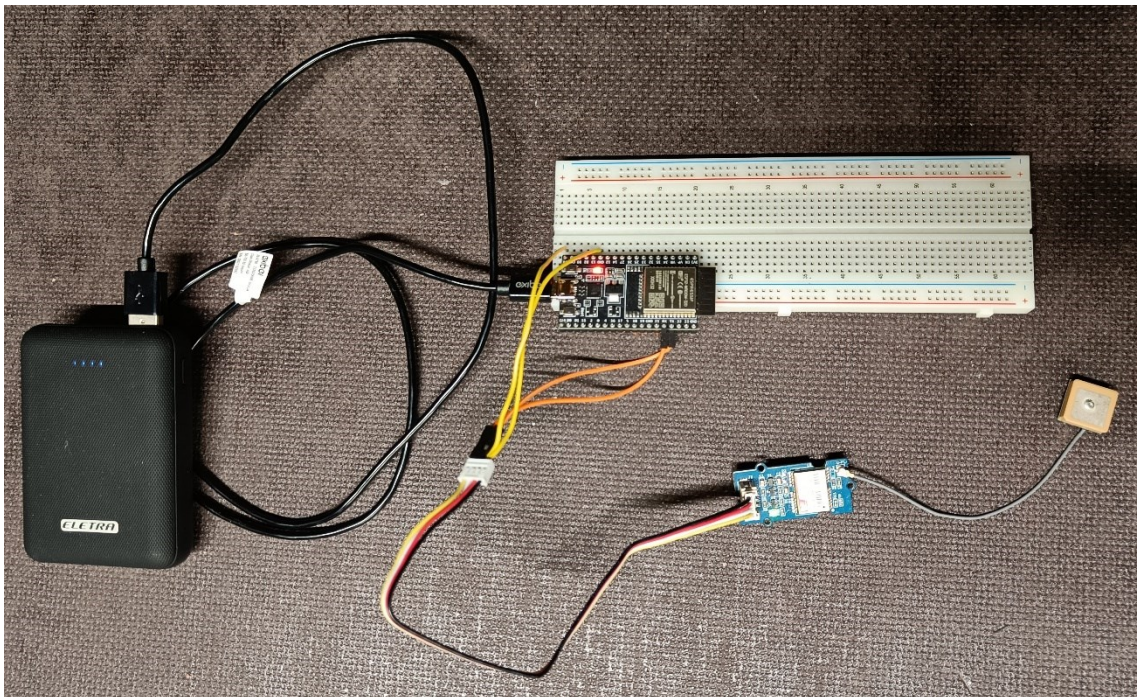
Jotta signaalin kulkema aika saataisiin selvitettyä, on GPS-järjestelmä tahdistettu satelliitissa ja vastaanottimessa niin, että nämä muodostavat samanlaisia merkkijonoja samanaikaisesti. Radiosanomien merkkijonot perustuvat ykkösiin ja nolliin. Viive saadaan ratkaistua, kun edellinen vastaanotettu merkkijonon kohta saadaan uudelleen ja vertaillaan nykyiseen aikaan saatua samaa merkkijonon kohtaa. Merkkijonot eivät siis ole heti synkroniassa toistensa kanssa, vaikka satelliitissa ja vastaanottimessa käytetään samoja merkkijonoja. (Henttu & Lehtoranta 1993, 28.)

### 3 ULKOPAIKANNUSJÄRJESTELMÄ

#### 3.1 Kokoonpanon ominaisuudet

Testeissä toimi ESP32-WROOM-32D-mikrokontrolleri ja Grove GPS SIM28 -moduuli. Mikrokontrollerin virtalähteenä käytettiin 10 000 mAh Eletra EPB10BK -akkupankkia, jonka toisesta USB-portista ulostulevan virran arvoksi oli merkitty 5 Vdc 1,0 A. Kokoonpanon valintaan vaikuttivat elektroniikan edullinen hinta ja saatavuus. ESP32:n ja Grove GPS -moduulin hinta oli yleisesti noin 50 euroa.

Kuviossa 2 akkupankki sijaitsee kuvan vasemmalla puolella, kytkentäalustaan kytketty ESP32-mikrokontrolleri keskellä ja GPS-moduuli oikealla. GPS-moduulista lähtevän koaksiaalikaapelin päässä on U-FL-liitännän avulla kiinnitetty antenni, jonka kautta GPS-signaaleja otetaan vastaan. Kytkentäalustasta oli hyötyä testien aikana ESP32:n tukemisessa ja kuljettamisessa, mutta kytkentäalusta ei ole kuitenkaan välttämätön.

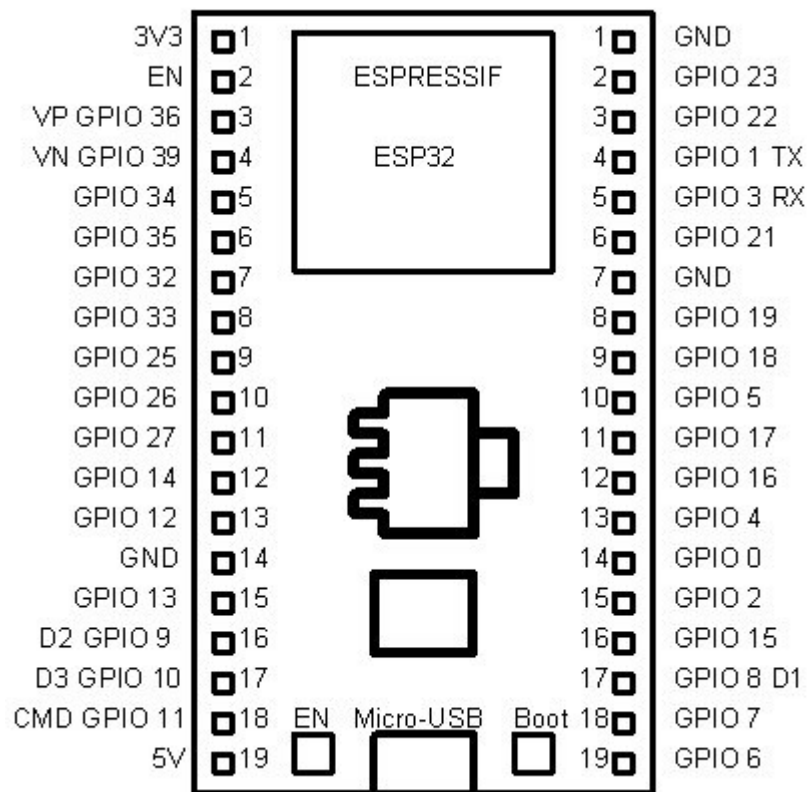


Kuvio 2. Akkupankki, ESP32-mikropiiri ja kytkentäalusta, GPS-moduuli ja moduulin antenni

### 3.1.1 ESP32-WROOM-32D

ESP32 on Espressif Systemsin valmistama mikrokontrolleri, jota käytetään paljon erilaisissa IoT-ympäristöissä (Espressif Systems 2022, 1). IoT tulee sanoista esi-neiden internet, jonka ideana on aikaisemmin mainitun nimen mukaisesti yhdis-tää laitteita Internetiin (Logistiikan Maailma 2022).

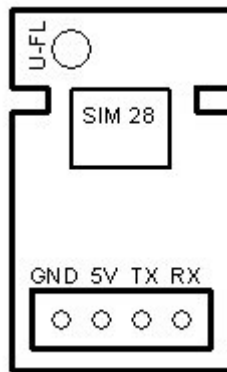
Mikrokontrolleri sisältää tuen WiFi-, Bluetooth- ja Bluetooth LE-yhteyksille (Esp-ressif Systems 2022, 6). Kontrolleri sisältää 38 pinniä, joista yksi pinni toimii 5 voltin jännitteellä, toinen pinni 3,3 voltin jännitteellä, ja kolme muuta pinniä on tarkoitettu maadoitukselle. Kontrolleri sisältää myös opinnäytetyössä tarvittavat RX- ja TX-pinnit, joista kerrotaan myöhemmin lisää. Alapuolelta löytyy kuvio 3, johon on merkattuna mikrokontrollerin kaikki GPIO-pinnit. Näiden pinnien tietä-misestä on apua tulevien kytkentöjen toteuttamisessa.



Kuvio 3. ESP32-WROOM-32D, kaavio pinneistä

### 3.1.2 Grove GPS SIM28

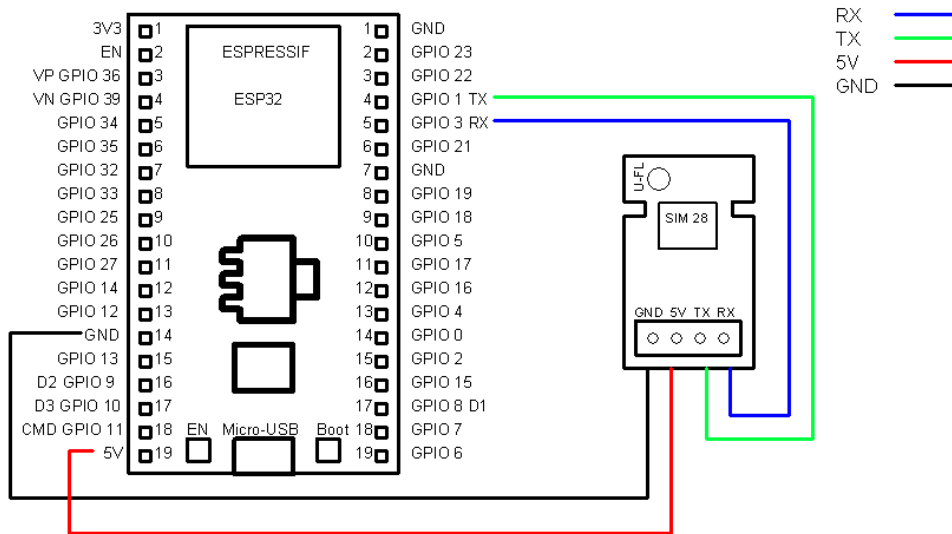
Työssä hyödynnetty Grove GPS -vastaanotin tukee 22 seuranta- ja 66 lisäkanavaa (Seeed Technology 2021). Vastaanottimessa satelliittien lähettämä signaali kulkee yhtä kanavaa pitkin samalla tavalla, kuin televisiot hyödyntävät kanavia ohjelmien lähetyksessä (Henttu & Lehtoranta 1993, 89). Moduuli tukee baudinopeuden arvoja lukujen 9 600 – 115 200 väliltä. Baudinopeus kuvaa tiedonvälityksen nopeutta. Kuvioista 4 nähdään vastaanottimen pinnit.



Kuvio 4. Grove GPS -vastaanottimen pinnit

### 3.2 Tarvittavat kytkennät

Kytkennot Grove GPS:n ja ESP32:n välillä ovat hyvin yksinkertaisia. Maadoitusjohto yhdistetään GND-pinniin, virtajohto 5V-pinniin, tietoa vastaanottava johto RX-pinniin ja tietoa lähettävä johto TX-pinniin. Koodin lataamisen ajaksi GPS-moduulin maadoitus- ja virtajohdot pitää irrottaa, jotta koodi latautuu ESP32:een onnistuneesti. Kuvioista 5 nähdään mikrokontrollerin ja vastaanottimen kytkennät.



Kuvio 5. ESP32:n ja Grove GPS -moduulin kytkennät

### 3.3 Kehitysympäristön määrittäminen

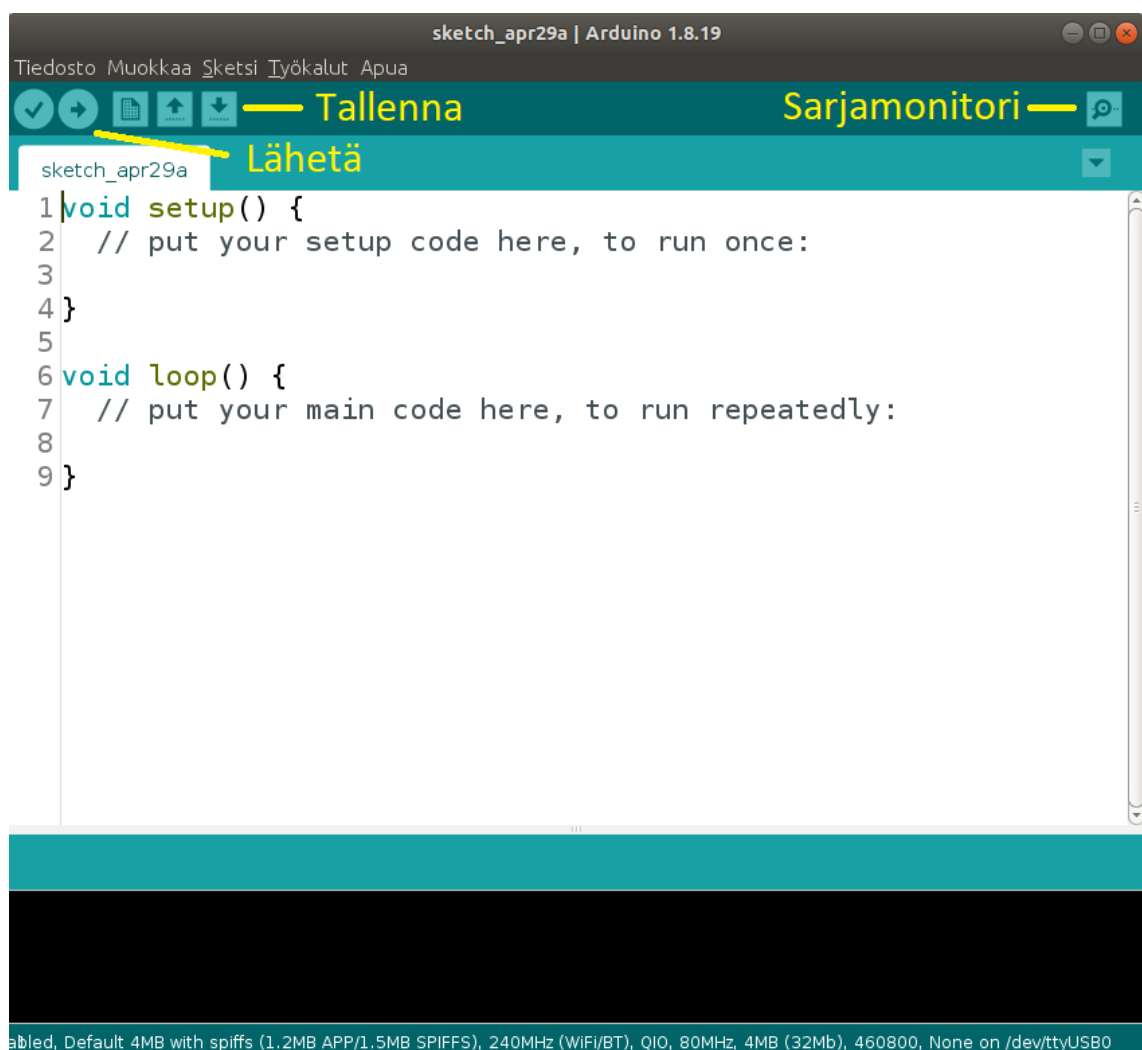
Paikannusjärjestelmän määrittäminen alkoi ROS Melodic -kehitysympäristön asentamisesta. Ympäristö asennettiin robotiikkalaboratorion serverille/työasemalle (Acer Predator G3-710), joka sijaitsi Rantavitikan kampuksen kellarikerroksessa. Serverin käyttöjärjestelmänä toimi Ubuntu Linux 18.04 LTS. Serverille tehtiin aluksi ROS Melodic ja Arduino IDE -asennukset. Melodic-ympäristön asennuksessa käytettiin apuna Lapland Robotics GitHub-repositorion *miniATV* ohjeistusta ja vinkkejä. Melodic tarvitsi kaksi rosserial-pakettia, joista ensimmäinen oli nimeltään *ros-melodic-rosserial-arduino* ja toinen *ros-melodic-rosserial*. Lopuksi Arduino IDE:lle määritettiin *rosserial*-, *TinyGPS*- ja *EspSoftwareSerial*-kirjastot sekä ESP32-mikrokontrollerin tuki.

Arduino IDE on vapaasti jaettava ohjelmisto, jonka lähdekoodia jaetaan GPL-lisenssillä versionhallintaan käytetyllä sivustolla GitHubissa (Arduino 2007). Ohjelmistoa käytetään koodin kehitysympäristönä, kun kehityksen kohteena on jonkinlainen mikrokontrolleri. Ohjelmisto tukee muun muassa erilaisia versioita ESP- ja Arduino-mikrokontrollereista.

Jotta työssä käytetty ESP32 toimii Arduino IDE -ohjelmistolla toivotulla tavalla, täytyy ohjelmiston yläpalkista valita "Työkalut->Kortti->ESP32 Arduino->ESP32

Dev Module”. Tämän jälkeen portin valinta täytyy tehdä manuaalisesti ohjelmiston yläpalkin kautta valitsemalla esimerkiksi ”Työkalut->Portti->/dev/ttyUSB0”.

Kuviossa 6 nähdään Arduino C -kielen käyttämät setup- ja loop-funktiot, painikkeet mikrokontrollerin koodin tallentamiselle ja lähettämiseksi sekä sarjamonitorin painike datan näyttämiseksi. Setup-funktio suoritetaan ohjelman aloituksessa kerran, ja funktiossa määritetään tavallisesti mikrokontrollerilta luettava sarjaliikenne sekä muut tarvittavat yhteydet. Loop-funktiota puolestaan suoritetaan koodissa toistuvasti. Näitä funktioita hyödynnetään myös lopullisessa toteutuksessa.



Kuvio 6. Näkymä Arduino IDE -ohjelmistosta ja tarvittavien toimintojen painikkeista

### 3.4 Mikrokontrollerin koodi

#### 3.4.1 Esimerkkikoodin testaaminen ja ymmärtäminen

Grove GPS -moduulin testaaminen aloitettiin Mikal Hartin kehittämän ohjelman *test\_with\_gps\_device.ino* avulla. Koodissa hyödynnetään TinyGPS-kirjastoa, joka osoittautui yhteensopivaksi Grove GPS -moduulille. Koodilla on mahdollista saada tietoa muun muassa satelliittien lukumäärästä, GPS:n tarkkuuden virheellisyydestä, pituus- ja leveysasteista, korkeudesta, kurssista, nopeudesta ja vastaanotetun tiedon statistiikasta. Jälkimmäisimmät statistiikkaan liittyvät arvot kuvaavat vastaanotettujen merkkien, merkkijonojen ja epäonnistuneiden merkkijonojen lukumäärää. Kun GPS-moduuli oli kytketty ESP32:een oikein, merkkien lukumäärä oli kasvavaa. Moduulin viestintään oli käytetty SoftwareSerial-kirjastoa, jolla saatiin luettua tietoa GPS-moduulista ESP32:n pinnien välityksellä. (Hart 2013.)

Kuviossa 7 alimman rivin paikannustiedot lukevat seuraavalla tavalla: "6, 113, 66.496036, 25.745220, 617, 01/17/2022, 11:34:43, 629, 125.70, 255.05, 0.00, WSW, 2198, 233.44, SW, 65406, 266, 0". On huomattava, että tyhjät välit on korvattu pilkuin. Toisin sanoen arvot ovat ilmaistu seuraavassa järjestyksessä: satelliittien lukumäärä, HDOP, leveysaste, pituusaste, age-muuttuja, päivämäärä, kellonaika, satelliitin age-muuttuja, korkeus (metreissä), kurssi GPS:stä katsottuna, nopeus (kilometriä tunnissa), ilmansuunta GPS:stä katsottuna, etäisyys, kurssi GPS:ään, ilmansuunta GPS:ään, vastaanotetut merkit, vastaanotetut lauseet, tarkistussumma.

Arvoista HDOP kuvaa GPS:n tarkkuuden virheellisyyttä, ja age-muuttujat puolestaan kertovat millisekuntien määrän datan koodaamisen jälkeisestä ajasta. Kaikkein viimeisimmäksi ilmoitettu arvo on tarkistussumma, joka kuvaa GPS-yhteyden aikana havaittuja virheitä. Tarkistussummasta on hyötyä muun muassa ohjelman nopeuden tarkkailussa. Jos esimerkiksi ohjelman tai satelliittien välinen yhteys toimii liian hitaasti tai nopeasti, summa kasvaa.

5	134	66.496170	25.745008	682	01/17/2022	11:34:15	694	127.70	0.00	0.00	N	2198	233.44	SW	55338	210	0
5	134	66.496170	25.745008	675	01/17/2022	11:34:16	687	127.70	0.00	0.00	N	2198	233.44	SW	55693	212	0
5	134	66.496170	25.745008	676	01/17/2022	11:34:17	688	127.70	0.00	0.00	N	2198	233.44	SW	56052	214	0
5	134	66.496170	25.745008	681	01/17/2022	11:34:18	693	127.70	0.00	0.00	N	2198	233.44	SW	56399	216	0
5	134	66.496170	25.745008	673	01/17/2022	11:34:19	685	127.70	0.00	0.00	N	2198	233.44	SW	56761	218	0
5	134	66.496170	25.745008	679	01/17/2022	11:34:20	692	127.70	0.00	0.00	N	2198	233.44	SW	57125	220	0
5	134	66.496086	25.745163	687	01/17/2022	11:34:21	700	125.70	317.49	1.44	NW	2198	233.44	SW	57477	222	0
5	134	66.496094	25.745161	682	01/17/2022	11:34:22	694	125.70	313.51	1.50	NW	2198	233.44	SW	57842	224	0
5	134	66.496094	25.745157	688	01/17/2022	11:34:23	701	125.70	309.69	1.57	NW	2198	233.44	SW	58199	226	0
5	134	66.496094	25.745157	687	01/17/2022	11:34:24	700	125.70	312.89	1.67	NW	2198	233.44	SW	58556	228	0
5	134	66.496094	25.745159	687	01/17/2022	11:34:25	699	125.70	312.09	1.72	NW	2198	233.44	SW	58916	230	0
5	134	66.496094	25.745161	688	01/17/2022	11:34:26	701	125.70	309.78	1.76	NW	2198	233.44	SW	59273	232	0
5	134	66.496094	25.745165	687	01/17/2022	11:34:27	700	125.70	312.30	1.80	NW	2198	233.44	SW	59631	234	0
5	134	66.496094	25.745169	687	01/17/2022	11:34:28	700	125.70	313.00	1.80	NW	2198	233.44	SW	59990	236	0
5	134	66.496094	25.745174	689	01/17/2022	11:34:29	701	125.80	310.11	1.48	NW	2198	233.44	SW	60346	238	0
5	134	66.496086	25.745182	689	01/17/2022	11:34:30	701	125.80	298.09	0.00	WNW	2198	233.44	SW	60687	240	0
6	113	66.496063	25.745199	612	01/17/2022	11:34:31	625	125.70	255.05	0.00	WSW	2198	233.44	SW	61050	242	0
6	113	66.496063	25.745220	620	01/17/2022	11:34:32	633	125.70	255.05	0.00	WSW	2198	233.44	SW	61413	244	0
6	113	66.496063	25.745220	620	01/17/2022	11:34:33	633	125.70	255.05	0.00	WSW	2198	233.44	SW	61776	246	0
6	113	66.496063	25.745220	620	01/17/2022	11:34:34	633	125.70	255.05	0.00	WSW	2198	233.44	SW	62139	248	0
6	113	66.496063	25.745220	623	01/17/2022	11:34:35	636	125.70	255.05	0.00	WSW	2198	233.44	SW	62502	250	0
6	113	66.496063	25.745220	619	01/17/2022	11:34:36	632	125.70	255.05	0.00	WSW	2198	233.44	SW	62865	252	0
6	113	66.496063	25.745220	611	01/17/2022	11:34:37	624	125.70	255.05	0.00	WSW	2198	233.44	SW	63228	254	0
6	113	66.496063	25.745220	613	01/17/2022	11:34:38	625	125.70	255.05	0.00	WSW	2198	233.44	SW	63591	256	0
6	113	66.496063	25.745220	612	01/17/2022	11:34:39	625	125.70	255.05	0.00	WSW	2198	233.44	SW	63954	258	0
6	113	66.496063	25.745220	614	01/17/2022	11:34:40	627	125.70	255.05	0.00	WSW	2198	233.44	SW	64317	260	0
6	113	66.496063	25.745220	616	01/17/2022	11:34:41	628	125.70	255.05	0.00	WSW	2198	233.44	SW	64680	262	0
6	113	66.496063	25.745220	622	01/17/2022	11:34:42	634	125.70	255.05	0.00	WSW	2198	233.44	SW	65043	264	0
6	113	66.496063	25.745220	617	01/17/2022	11:34:43	629	125.70	255.05	0.00	WSW	2198	233.44	SW	65406	266	0

## Kuvio 7. Näkymä GPS-moduulilla vastaanotetuista tiedoista

Ohjelman viiveeseen liittyvät ongelmat vältetään kuvion 8 smartdelay-funktion avulla. Funktiosta on huomattavasti hyötyä koodin ja GPS:n välisen toiminnan tauottamisessa, ja funktion käyttäminen on todettu testien aikana välttämättömäksi.

```
static void smartdelay(unsigned long ms)
{
  unsigned long start = millis();
  do
  {
    while (ss.available())
      gps.encode(ss.read());
  } while (millis() - start < ms);
}
```

## Kuvio 8. Smartdelay-funktio ja GPS-arvojen lukeminen moduulista

### 3.4.2 Esimerkkikoodin muokkaaminen

Seuraavaksi Mikal Hartin kehittämään GPS-ohjelmaan tarvittiin WiFi-yhteys, jonka avulla paikkatiedon lähettäminen ESP32:sta langattomasti ROS-palvelimelle olisi mahdollista. Aikaisemmin yhteyden aikaansaamiseksi oli hyödynnetty micro USB -kaapelia, joka kytkettiin suoraan työasemaan. Toiminnallisuus langattomalle tiedonsiirrolle löytyi Agustin Nunezin kehittämästä ohjelmasta *esproswifi.ino*. Olennaisin osa koodista oli erikseen määritetty kuviossa 9 näkyvä WiFiHardware-luokka, jota oli hyödynnetty NodeHandlen osalta. Esproswifi-koodi

tuki ROS-palvelimeen yhdistäviä rosserial -ja WiFi-suoritinkannan yhteyksiä. (Nunez 2017.)

```
class WiFiHardware {

public:
WiFiHardware() {}

void init() {
// do your initialization here. this probably includes TCP server/client setup
client.connect(server, 11411);
}

// read a byte from the serial port. -1 = failure
int read() {
// implement this method so that it reads a byte from the TCP connection and returns it
// you may return -1 if there is an error; for example if the TCP connection is not open
return client.read(); //will return -1 when it will works
}

// write data to the connection to ROS
void write(uint8_t* data, int length) {
// implement this so that it takes the arguments and writes or prints them to the TCP connection
for(int i=0; i<length; i++)
client.write(data[i]);
}

// returns milliseconds since start of program
unsigned long time() {
return millis(); // easy; did this one for you
}

protected:
WiFiClient client;
};
```

## Kuvio 9. WiFi-hardware-luokka

Vaikka ohjelma alkoi lupaavasti rakentumaan Esproswifin perustalle, ei tämä ollut vielä kuitenkaan valmis. Koska koodi oli alun perin suunniteltu vastaanottavaksi solmuksi, täytyi koodia muokata toimimaan lähettävänä solmuna. Lähettävään solmuun löytyi ratkaisu rosserialin mukana tulevasta ohjelmasta *TcpHelloWorld.ino*. Koodi muutettiin kuvion 10 tapaisesti *publisheriksi*, jonka avulla ESP32:een ladattu ohjelma muodosti myöhemmin yhteyden paikalliseen ROS-palvelimeen.

```
72 std_msgs::String str_msg;
73 ros::NodeHandle<WiFiHardware> nh;
74 ros::Publisher chatter("testdata", &str_msg);
```

Kuvio 10. Koodin kohta, jossa tietoa julkaiseva toiminnallisuus on määritettynä

Yhteyden muodostamisessa käytettiin kuvion 11 NodeHandle-objektia *nh*. Yhteyden kautta ESP32 julkaisi paikannustietoja aiheeseen nimeltä *testdata*.

```

76 void setup() {
77   Serial.begin(115200);
78   delay(1000);
79   Serial.println("WiFi Setup");
80   setupWiFi();
81   delay(2000);
82   Serial.println("GPS module setup");
83   ss.begin(9600);
84   delay(2000);
85   Serial.println("GPS module setup done");
86   delay(2000);
87   Serial.println("init node");
88   nh.initNode();
89   Serial.println("init node done");
90   delay(10000);
91   nh.advertise(chatter);
92   Serial.println("\nSetup done");
93 }

```

Kuvio 11. Setup-funktio ja NodeHandle-objektin käyttö yhteyden aloittamiseksi

Palvelimessa suoritettiin samanaikaisesti komentoa *roscore*, kun mikrokontrolle-  
rin koodia testattiin. Komennon suoritus nähdään kuviossa 12. Roscoren suori-  
tuksen näkymässä tärkein tieto on kohta "ROS\_MASTER\_URI", joka toimii pal-  
velimen osoitteena. Sekä palvelimen että ESP32:n täytyi olla yhdistettynä sa-  
maan verkkoon, jotta koodi toimisi oikein.

```

Activities Terminal ma 14:03
roscore http://iortlabra-Predator-G3-710:11311/
File Edit View Search Terminal Help
c$ roscore
... logging to /home/iortlabra/.ros/log/eedd25bc-880d-11ec-afc8-c82158735ef1/ro
slaunch-iortlabra-Predator-G3-710-2684.log
Checking log directory for disk usage. This may take a while.
Press Ctrl-C to interrupt
Done checking log file disk usage. Usage is <1GB.

started roslaunch server http://iortlabra-Predator-G3-710:33475/
ros_comm version 1.14.12

SUMMARY
=====

PARAMETERS
* /rostdistro: melodic
* /rosverston: 1.14.12

NODES

auto-starting new master
process[master]: started with pid [2697]
ROS_MASTER_URI=http://iortlabra-Predator-G3-710:11311/

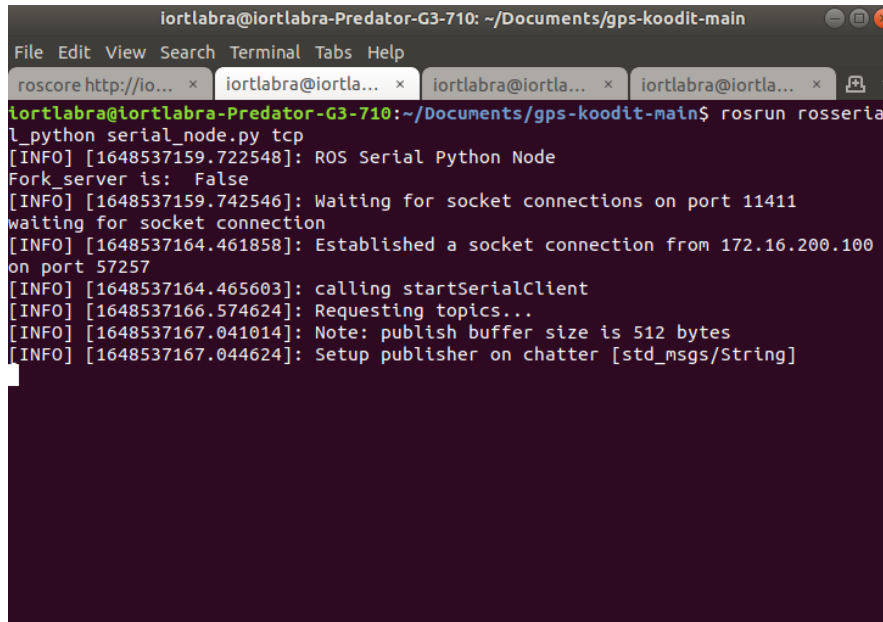
setting /run_id to eedd25bc-880d-11ec-afc8-c82158735ef1
process[rosout-1]: started with pid [2710]
started core service [/rosout]

```

Kuvio 12. Näkymä palvelimella suoritetusta roscore-komennosta

Kuviossa 13 nähdään onnistunut rosserial-yhteys ESP32:n ja ROS-palvelimen  
välillä. Ensiksi käynnistyy Python-solmu, joka odottaa WiFi-suoritinkannan yh-

teyttä. Kun mikrokontrollerin yhteys on muodostettu verkon kautta ROS-palvelimelle, käynnistyy ROS-ympäristön *SerialClient*. Tämän jälkeen voidaan vastaanottaa aiheiden lähettämää tietoa.



```

iortlabra@iortlabra-Predator-G3-710: ~/Documents/gps-koodit-main
File Edit View Search Terminal Tabs Help
roscore http://io... x iortlabra@iortla... x iortlabra@iortla... x iortlabra@iortla... x
iortlabra@iortlabra-Predator-G3-710:~/Documents/gps-koodit-main$ rosruncat _python serial_node.py tcp
[INFO] [1648537159.722548]: ROS Serial Python Node
Fork_server is: False
[INFO] [1648537159.742546]: Waiting for socket connections on port 11411
waiting for socket connection
[INFO] [1648537164.461858]: Established a socket connection from 172.16.200.100
on port 57257
[INFO] [1648537164.465603]: calling startSerialClient
[INFO] [1648537166.574624]: Requesting topics...
[INFO] [1648537167.041014]: Note: publish buffer size is 512 bytes
[INFO] [1648537167.044624]: Setup publisher on chatter [std_msgs/String]

```

Kuvio 13. Näkymä ESP32:een muodostetusta rosserial-/TCP-yhteydestä

### 3.5 Paikantamisen testaaminen

Kehitetyn paikannusjärjestelmän testaaminen tapahtui aluksi Rantavitikan kampuksen robotiikkalaboratoriossa, jotta GPS-signaalin vahvuudelle saataisiin sieltä varmuus. Robotiikkalaboratorio nähdään kuviossa 14. Signaalin kuuluvuus kellarissa oli erittäin huono, eikä yhteyttä satelliitteihin tämän takia saatu. Tulos oli oikeastaan ohjaajan kanssa odotettavissa, sillä signaalin heikentymistä rakenteiden ja muiden esteiden välillä voi tapahtua enemmän tai vähemmän riippuen GPS-laitteesta ja paikannettavasta sijainnista. GPS-signaalin heikon kuuluvuuden vuoksi sisäpaikantamiseen oli ennestään suunniteltu GPS-järjestelmän korvaavaa vaihtoehtoa, johon myöhemmin esiteltä Marvelmind-laitteisto kykenee. Laitteiston etuna on hyödyntää GPS-signaalien sijaan ultraääneen perustuvaa teknologiaa.



Kuvio 14. Kampuksen kellarikerroksessa sijaitseva robotiikkalaboratorio

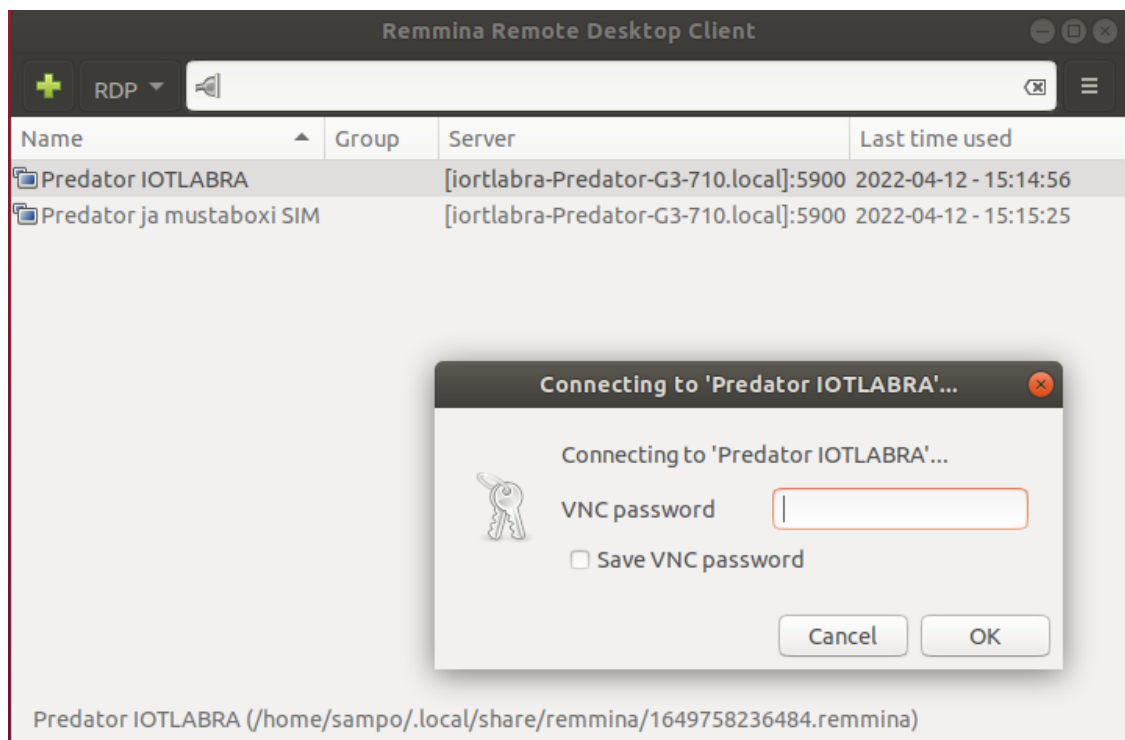
Robotiikkalaboratorion sijaan signaali kuului kuitenkin sisätiloissa, jos paikannin vietiin muualle esimerkiksi ikkunoiden läheisyyteen. Ikkunan luona signaalin saamiseen aikaa kului noin 1 – 5 minuuttia, joskus kuitenkin jopa 30 minuuttia.

Paikantamisen viiveeseen vaikuttavia tekijöitä ovat muun muassa signaalin taittuminen Maan ilmakehässä, satelliittikellot, vastaanottajat ja keskinäisesti epäedullinen satelliittien sijainti. Näiden lisäksi aikaisemmissa testeissä on havaittu, että paikantimen etäisyys muutamalla metrillä rakennuksen ikkunasta voi heikentää huomattavasti GPS-signaalia. (Henttu & Lehtoranta 1993, 59.)

Paikantimen testauksessa havaittiin aikaisemmin mainittujen seikkojen lisäksi, ettei ikkunan yläpuolella voinut olla suurta katosta. Kampuksen takapihalla oli katos, jonka läheltä löytyi paksuja lasi-ikkunoita. Näiden ikkunoiden kohdalla signaalia ei saatu. Paikanninta on testattu katoksen lisäksi muissa rakennuksissa, lähinnä kampuksen ulkopuolella. Esimerkiksi parvekkeen ikkunasta sekä lähellä olevista puista haittaa ei ole ollut GPS-signaalille.

### 3.5.1 Testaamisen tukena käytetyt ohjelmat

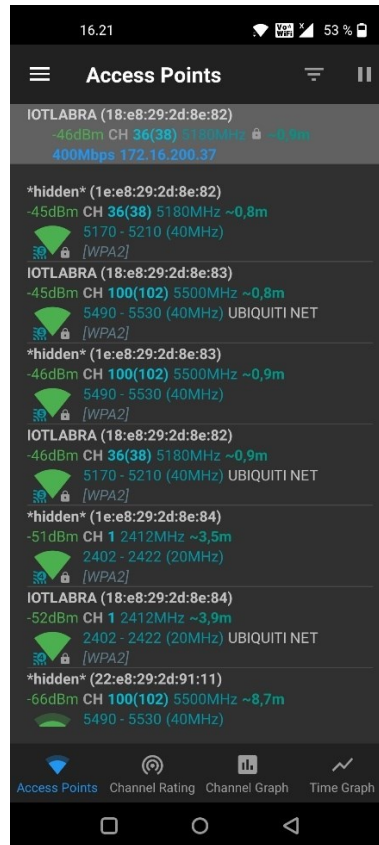
Myöhemmin paikantamisen testauksissa siirryttiin koulun takapihan alueelle. Ensiksi oli kuitenkin selvitettävä, miten voitaisiin aloittaa alusta serverillä suoritettavaa rosserial-yhteyttä mahdollisten katkosten varalta. Tulevissa testeissä käytettiin apuna ylimääräistä kannettavaa tietokonetta, johon oli asennettu sama palvelimen käyttämä Ubuntu-käyttöjärjestelmä ja Remmina-ohjelmisto. Remmina mahdollisti VNC-protokollan avulla etätyöpöytäyhteyden muodostamisen samassa verkossa olevaan palvelimeen. Kuviossa 15 nähdään Remmina-ohjelmiston päänäkymä ja luettelo määritetyistä yhteyksistä.



Kuvio 15. Remmina-ohjelmiston päänäkymä ja etätyöpöytäyhteyden muodostaminen VNC-protokollan avulla

Kun etätyöpöytäyhteys oli kunnossa, täytyi seuraavaksi aloittaa lähiverkon mitausten tekeminen Wifi Analyzer -mobiilisovelluksella. Sovellus ilmoitti langattoman verkon signaalin vahvuutta desibelimilliwattien avulla. Desibelimilliwattit kuvaavat sähkönsähtötehon suhdetta yhteen milliwattiin (Kosatsky 2013, 10). Verkon kentän lukemat ilmoitetaan negatiivisina lukuina, ja suurempi arvo tarkoittaa aina

parempaa kentänvoimakkuutta (Botfel Estonia 2022, 9). Kuviossa 16 mobiilisovellus Wifi Analyzer näyttää luettelon muun muassa lähellä olevista langattomista verkoista ja verkkosignaalien vahvuuksista.



Kuvio 16. Näkymä WiFi Analyzer -mobiilisovelluksen mittauksista

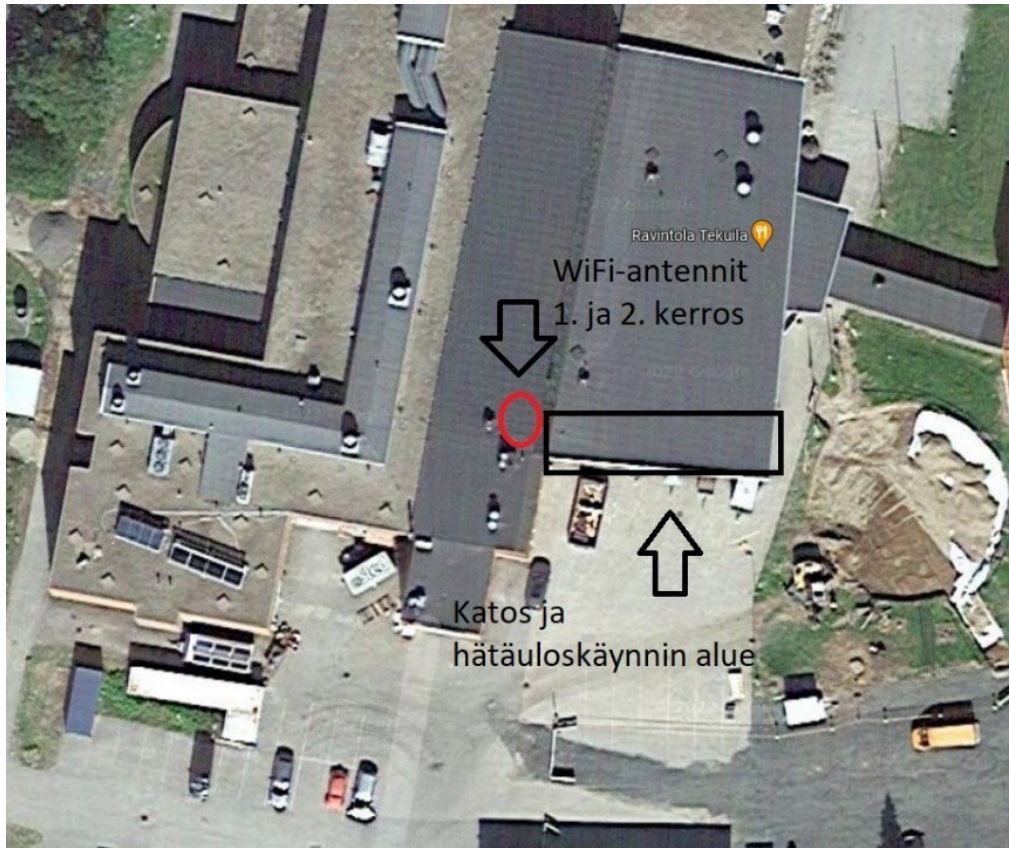
### 3.5.2 Verkkoyhteyden jatkaminen WiFi-antennien avulla

Verkkosignaalin mittauksissa kävi ilmi, että signaali ei kantanut juuri ollenkaan ulos asti. Tämän vuoksi ohjaajan kanssa päätettiin, että verkon jatkeena kokeiltaisiin kahta Ubiquiti Networksin kehittämää UniFi AP AC PRO -antennia. Antennit olivat valmiiksi määriteltynä IOTLABRA-verkkoon, johon myös ROS-palvelin oli alun perin yhdistettynä. Kuviossa 17 nähdään toinen käytetyistä antenneista.



Kuvio 17. Ubiquiti UniFi AP AC PRO -antenni

Antenni otti virran Power over Ethernet -tekniikalla (PoE) laitteen mukana tulevan muuntajan avulla verkkovirran kautta. Laitteeseen tuleva Ethernet-kaapeli kytkettiin laitteen Main-porttiin. Ensimmäinen antenneista oli kytkettynä ensimmäisen kerroksen hätäuloskäynnin luokse, joka sijaitsee pääaulan lähellä. Toinen antenni oli puolestaan kerrosta ylempänä. Molemmat antennit sijoitettiin kuvion 18 mukaisesti kampuksen ikkunoiden läheisyyteen. Antennien jakama verkkoyhteys toimi mesh-periaatteella, joka jatkaa kunkin antennin kohdalla verkon signaalia. Signaalin jatkaminen ei ollut kuitenkaan tarpeeksi varma vaihtoehto, koska pihalle signaalia ei kuulunut juuri ollenkaan.



Kuvio 18. UniFi-antennien sijainnit B-osan aulassa (Google Maps 2022)

### 3.5.3 Erillinen verkkoyhteys

UniFi-antennien heikon verkkosignaalin vuoksi kokeilussa oli seuraavaksi ohjaajan mainitsema LR54-reititin. Kuvion 19 reititin jakoi langatonta verkkoyhteyttä SIM-kortin avulla, joten mikrokontrollerin koodia oli päivitettävä käyttämään samaista verkkoa. Myös etätyöpöytäyhteys kellarin koneelle täytyi määrittää uudelleen. Reitittimellä oli tarkoitus tehdä kolme erilaista testausta, joista kerrotaan seuraavaksi tarkemmin.



Kuvio 19. LR54-reititin

Ensimmäisessä kokeilussa reititin oli hätäuloskäynnin ovien sisäpuolella B-osan aulassa. Verkon signaali oli heikko kellarin palvelimella. Palvelin löysi verkon WiFi-hakuluetteloon, mutta ei pystynyt yhdistämään verkkoon ilman työaseman siirtämistä muutamalla metrillä kellarin tiloissa. Sen sijaan hätäuloskäynnin ovien luona signaali oli vahvuudeltaan  $-57$  –  $-88$  desibelimilliwattia. Signaalin arvona noin  $-60$  desibelimilliwattia oli vielä kohtuullinen GPS-yhteyden testaamiselle, mutta  $-90$  desibelimilliwattia oli vahvuudeltaan jo niin heikko, ettei yhteyttä ole juuri ollenkaan. Koulun takapihalle oli kuitenkin niin heikko signaali, ettei GPS-moduulin kanssa ollut mahdollisuutta kävellä ulko-ovien läheisyydestä montaa metriä kauemmas. Tämä kokeilu oli periaatteessa epäonnistunut, koska datan täytyy päästä kulkemaan kellarin palvelimelle asti.

Toisessa testissä kellarin palvelin oli siirretty hätäuloskäynnin luokse ulko-ovien lähelle. Verkon signaali oli vahva, ja GPS-moduulin sekä ESP32:n vieminen katoksen luokse oli mahdollista korkeintaan viiden metrin etäisyyteen. GPS-signaali löytyi ulkona minuutin aikana, jolloin dataa alkoi muodostua rosserialin kautta palvelimelle. Kuviossa 20 nähdään kampuksen takapihalle sijaitsevasta GPS-moduulista vastaanotettua paikkatietoa ROS-palvelimella.

```

89.70,\
\
341.84,
5.15,NNW,2196,
233.44,SW,50426,213,25,"
data: "5,189,
89.70,\
66.480797,
25.721848,717,04/06/2022 10:41:54,729,
\
342.78,
6.41,NNW,2196,
233.44,SW,50824,215,25,"
data: "5,190,
89.60,\
66.480797,
25.721842,115,04/06/2022 10:41:56,125,
\
346.45,
6.30,NNW,2196,
233.44,SW,51247,218,26,"
data: "5,190,
89.50,\
66.480804,
25.721842,225,04/06/2022 10:41:57,235,
\
345.78,
5.19,NNW,2196,
233.44,SW,51668,220,27,"
data: "5,190,
89.20,\
66.480804,
25.721842,317,04/06/2022 10:41:58,327,
\
345.78,
5.19,NNW,2196,
233.44,SW,52091,221,28,"
data: "5,190,
89.00,\
66.480812,
25.721832,106,04/06/2022 10:41:59,118,
\
344.98,
6.24,NNW,2196,
233.44,SW,52473,224,28,"

```

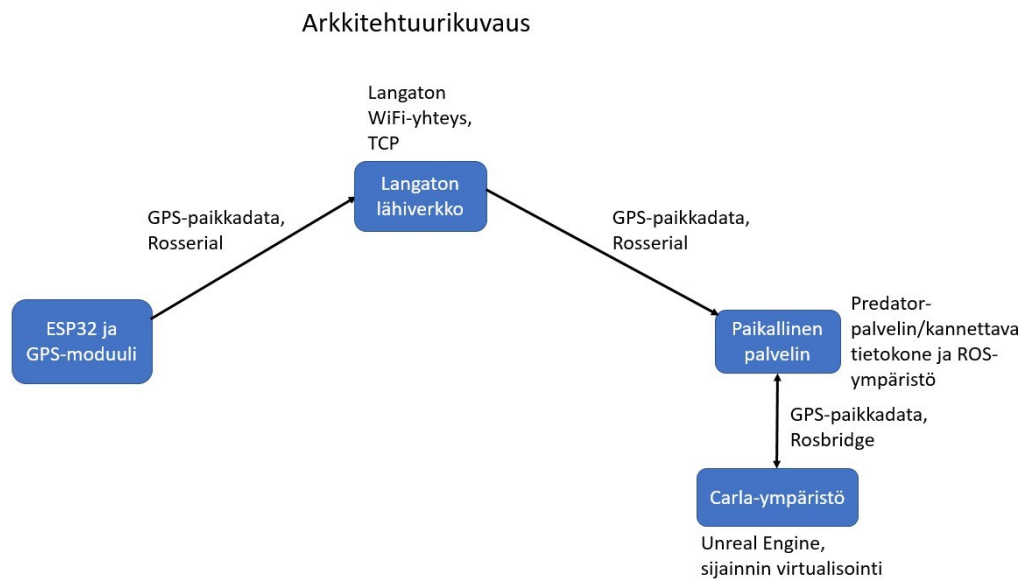
Kuvio 20. GPS-moduulista vastaanotettu data

Kolmannessa kokeessa reititin sijaitti kuvion 21 mukaisesti Tekuila-ravintolan edustalla pääaulan käytävällä ja palvelin puolestaan kellarin tiloissa. GPS-moduuli ja ESP32 pysyivät ulkona katoksen läheisyydessä. GPS:n luona kannettavan tietokoneen WiFi-kuvake näytti WiFi-signaalille puolta palkkia, mutta WiFi Analyzer antoi signaalille arvon -82 desibelimilliwattia. Yhteys toimi kohtuullisesti kellarin palvelimelle asti. Edelleenkään koulun takapihan alueella ei pystynyt etenemään ulko-ovien luota viittä metriä kauemmaksi tai yhteyden laatu olisi muuten heikentynyt huomattavasti ja yhteys olisi jopa katkennut kokonaan. Kampuksen takana WiFi Analyzer näytti signaalin arvona -90 desibelimilliwattia. Tässä testissä kuitenkin GPS-moduuli löysi satelliitit suurin piirtein minuutin aikana, kuten aikaisemmin mainitussa testissä.



Kuvio 21. LR54-reitittimen sijainnit (Google Maps 2022)

Kuviossa 22 on esitetty aikaisemmin mainittujen testien arkkitehtuurikuvaus. Arkkitehtuurikuvausta käytettiin testiympäristön havainnollistamisessa.



Kuvio 22. GPS-paikantimen ja ROS-järjestelmän testaus kampuksen ympäristöissä

### 3.6 Paikkatiedon lähettäminen Carla-ympäristöön

Sijainnin lähettäminen Carla-ympäristöön oli ajankohtaista, kun GPS-paikkatiedon saaminen oli testattu takapihan alueelta onnistuneesti. Aluksi oli asennettava Carla-ympäristö, joka toimii Unreal Enginen puolella. Carlan ja ROS-ympäristön välillä käytetään tiedonvälitykseen protokollaa, jonka nimi on Rosbridge. Asentamisen ja takapihan mallintamisen oli toteuttanut Lapin AMK:n asiantuntija Tuomas Herranen, joka opasti Carlan käyttöönotossa ja soveltamisessa.

Carla-ympäristöä käytetään yleisesti autonomisten ajojärjestelmien kehittämisessä. Simulaatioympäristössä on mahdollista testata muun muassa autonomisen alustan antureista saatavaa tietoa. (CARLA Team 2022.) Tulevaisuudessa hankkeen alustojen paikkatietoa on tarkoitus käyttää virtuaalisen sijainnin määrittämiseen. Käytännössä tämä merkitsee digitaalisen kaksosen konseptia, jossa alustan todellisia toimintoja simuloidaan virtuaaliympäristössä.

Ympäristön käyttöönotossa oli hyödynnettävä export -ja source-komentoja, jotta Carlaan ajettavat komennot alkaisivat toimimaan mahdollisimman nopeasti ja työtä päästäisiin jatkamaan eteenpäin. Tarvittavat komennot suoritettiin jokaisessa Ubuntun terminaalin välilehdessä, jolle oli pienintäkään tarvetta. Näitä tekniikoita ei kuitenkaan tarvitse käyttää joka kerta ympäristön käyttöönoton yhteydessä, jos ROS-ympäristöstä on luotu työtila tai tiedot saa jotenkin muulla tavalla pysymään terminaalin ulottuvilla. Export-komennoissa määritettiin lähinnä Carlan juurikansio, sen käyttämän Python-jakelun polku sekä kansio Python-rajapinnalle/-koodeille.

Kuviossa 23 nähdään ROS-ympäristön määrittämissä käytetyt komennot. Kohdat 1 ja 2 määrittävät tarvittavien tiedostojen polut, joita komentotulkki tarvitsee Carlan käyttöönottoa varten. Kohta 3 määrittää palvelimen yhteyteen liittyvät osoitteet ja portin. Neljännen kohdan komento käynnistää Carla-ympäristön, ja viidettä kohtaa käytetään solmun *carla\_manual\_control* käynnistämiseksi. Viides kohta perustuu launch-tiedostoon, jonka sisältö on XML-formaatissa. Launch-tiedostoon määritetään käynnistettävät ROS-ympäristön solmut (ROS 2022e). Myös kannettavalla tietokoneella täytyi määrittää terminaalisissa ROS-palvelimen asetukset vastaamaan Predator-koneen IP-osoitetta.

Export:

1.
 

```
export CARLA_ROOT=/home/iortlabra/carla export
PYTHONPATH=$PYTHONPATH:$CARLA_ROOT/PythonAPI/carla/dist/carla-0.9.13-py2.7-linux-
x86_64.egg:$CARLA_ROOT/PythonAPI/carla
```
2.
 

```
export PYTHONPATH=$PYTHONPATH:/home/iortlabra/carla/PythonAPI/carla/dist/carla-0.9.13-
py2.7-linux-x86_64.egg
```
3.
 

```
export ROS_MASTER_URI=http://<YOUR_IP_ADDRESS>:11311
export ROS_HOSTNAME=<YOUR_IP_ADDRESS>
```

Source:

4. Unreal Engine startup In Carla folder  
make launch
5. Launch file for carla\_manual\_control node  
roslaunch carla\_ros\_bridge carla\_ros\_bridge\_with\_example\_ego\_vehicle.launch

Kuvio 23. Carlan käyttöönoton yhteydessä terminaalin välilehtiin ajettavat komennot

Seuraavassa kuviossa nähdään Carla-ympäristö, jossa on virtualisoitu Rantaviti-  
kan kampuksen takapihan alue. Kuvion pienemmässä ikkunassa on editorin ka-  
meran HUD-arvoja, johon tullaan myöhemmin sijoittamaan paikkatietoa.



Kuvio 24. Näkymä asennetusta Carla-ympäristöstä, jossa suoritetaan Python-  
solmua *carla\_manual\_control*

### 3.6.1 Tiedonvälityksen selvittäminen

Datan lähetystä testattiin aluksi esimerkkikoodeilla, jotka oli kirjoitettu Python-ohjelmointikielellä. Esimerkkikoodeja oli mahdollista testata joko kahden laitteen välillä tai pelkästään Predator-työasemalla. Testeissä kuvion 25 dataa lähettävä publisher-koodi *talker.py* toimi aluksi kannettavalla tietokoneella. Koodissa määritetty *chatter* toimi aiheen nimenä ROS-järjestelmässä. Solmun *talker* uudelleennimeämiseksi ei ollut tarvetta.

```
import rospy
from std_msgs.msg import String

def talker():
    pub = rospy.Publisher('chatter', String, queue_size=10)
    rospy.init_node('talker', anonymous=True)
    rate = rospy.Rate(10) # 10hz
    while not rospy.is_shutdown():
        hello_str = "hello world %s" % rospy.get_time()
        rospy.loginfo(hello_str)
        pub.publish(hello_str)
        rate.sleep()

if __name__ == '__main__':
    try:
        talker()
    except rospy.ROSInterruptException:
        pass
```

Kuvio 25. Talker.py-koodi

Kuviossa 26 dataa vastaanottavaa subscriber-koodia *listener.py* suoritettiin Predator-koneen ROS-palvelimella. Aiheen nimenä toimi *chatter*, mutta solmun uudelleennimeämiseksi ei ollut tarvetta.

```

import rospy
from std_msgs.msg import String

def callback(data):
    rospy.loginfo(rospy.get_caller_id() + 'I heard %s', data.data)

def listener():

    # In ROS, nodes are uniquely named. If two nodes with the same
    # name are launched, the previous one is kicked off. The
    # anonymous=True flag means that rospy will choose a unique
    # name for our 'listener' node so that multiple listeners can
    # run simultaneously.
    rospy.init_node('listener', anonymous=True)

    rospy.Subscriber('chatter', String, callback)

    # spin() simply keeps python from exiting until this node is stopped
    rospy.spin()

if __name__ == '__main__':
    listener()

```

Kuvio 26. Listener.py-koodi

Seuraavaksi kokeiltiin alkuperäisiä kooditiedostoja ilman aiheen uudelleennimeämistä. Kun Ubuntun komentotulkkiin saatiin vastaanotettua lähetettävää tietoa, oli selvää, että yhteys laitteiden välillä toimi. Samalla saatiin varmuus siitä, että solmuja ei tarvitse nimetä uudelleen, mutta aiheiden nimet on oltava samat sekä tietoa vastaanottavassa että lähettävässä koodissa. Testit pystyttiin toteuttamaan tämän lisäksi pelkästään Predator-työasemalla, jolloin kannettavalle tietokoneelle ei ollut tarvetta.

Kun datan lähettäminen ja vastaanottaminen Python-esimerkkikoodien avulla oli selvitetty, siirryttiin testeissä hieman aidompaan vaiheeseen. Tässä vaiheessa tiedon lähettäminen tuli onnistua Carla-ympäristöön asti. Tällöin Python-koodissa *talker* oli muutettava tietoa julkaisevan aiheen nimi vastaamaan vastaanottavan aiheen nimeä kuvion 27 mukaisesti, jotta tiedon vastaanottaminen onnistuisi solmussa *carla\_manual\_control*. Myös solmun uudelleennimeäminen oli tarpeen tämän Python-koodin puolella.

```

talker.py x original.py
home > sampo > talker.py > ...
41
42 import rospy
43 from std_msgs.msg import String
44
45 def talker():
46     pub = rospy.Publisher('testdata', String, queue_size=10)
47     rospy.init_node('carla_manual_control')
48     rate = rospy.Rate(10) # 10hz
49     while not rospy.is_shutdown():
50         testdata = "hello %s" % rospy.get_time()
51         rospy.loginfo(testdata)
52         pub.publish(testdata)
53         rate.sleep()
54
55
56 if __name__ == '__main__':
57     try:
58         talker()
59     except rospy.ROSInterruptException:
60         pass
61

```

Kuvio 27. Kuvassa on muokattu kooditiedosto *talker.py*, joka lähettää dataa soluun *carla\_manual\_control* aiheen *testdata* avulla

Carlassa vastaanotettua tietoa käytettiin HUD-arvoissa kuviossa 28 näkyvän *Sensordatan* kohdalla eli arvot näkyivät tekstinä Unreal Editorin kameran näkökentässä.

```

CARLA ROS manual control
Frame: 83138
Simulation time: 1:10:23
FPS: 20.0

Vehicle: Lincoln Mkz_2017
Speed: 0 km/h
Heading: -0\N{DEGREE SIGN} N
Location: (-25.2, 167.3)
GNSS: ( 66.480443, 25.721133)
Height: 78 m
Sensordata: hello world 4223.77986281

Throttle: 
Steer: 
Brake: 
Reverse: 
Hand brake: 
Manual: 
Gear: N

Manual ctrl: 

Press <H> for help

```

Kuvio 28. Näkymä kameran HUD-kentästä, jonka kohtaan *Sensordata* on lähetetty testattavaa tietoa

### 3.6.2 Tiedonvälityksen vianmäärittäminen

Seuraavaksi datan lähetys oli saatava vastaamaan ESP32:n kautta GPS-moduulista saatavaan tietoon. Esproswifi-koodissa oli aikaisemmin ollut ongelmana NodeHandlen tarjoama IP-osoite "0.0.0.0", josta ilmeni häiriöitä. Ongelmaan löytyi ratkaisu kokeilemalla Roscoren uudelleenkäynnistystä, mutta ratkaisuun auttoi myös lukuisat pienet muutokset Esproswifi-koodin puolella. Ongelmaa selvitettiin koululla työskentelevän asiantuntijan kanssa. Koodiin tuli muutoksia muun muassa WiFiHardware-luokkaan sekä WiFi-yhteyden ja NodeHandlen käynnistykseen järjestyksiin Setup-funktiossa.

Setup-funktion rakennetta nähdään tarkemmin kuviossa 29. Ensiksi kuviossa määritetään ESP32:n baudinopeus, sitten kutsutaan WiFi-yhteyden määrittämiseen käytettyä funktiota. Kun WiFi-yhteys on määritetty, siirrytään GPS-moduulin baudinopeuden määrittämiseen. GPS-moduulin jälkeen käynnistetään ROS-järjestelmään tarvittava solmu. Lopuksi määritetään aihe, jonka lähetyksestä vastaa NodeHandle-objekti. Eri vaiheet sisältävät muutaman sekunnin taukoja, mutta viimeiselle vaiheelle on varattu varmuuden vuoksi 10 sekuntia aikaa. Tauot on ilmoitettu millisekunneissa.

```

76 void setup() {
77   Serial.begin(115200);
78   delay(1000);
79   Serial.println("WiFi Setup");
80   setupWiFi();
81   delay(2000);
82   Serial.println("GPS module setup");
83   ss.begin(9600);
84   delay(2000);
85   Serial.println("GPS module setup done");
86   delay(2000);
87   Serial.println("init node");
88   nh.initNode();
89   Serial.println("init node done");
90   delay(10000);
91   nh.advertise(chatter);
92   Serial.println("\nSetup done");
93 }

```

Kuvio 29. Setup-funktion yhteyksien järjestys ohjelman käynnistyksessä

NodeHandlen yhteysongelman ratkettua oli varmistettava vielä kampuksen takapiha-alueelta, miltä GPS-moduulin data näyttäisi oikeassa tilanteessa. Kuviossa 30 nähdään takapihalta tulevan GPS-moduulin tietoa Ubuntu terminaalissa ja Carla-ympäristössä.

The image shows a terminal window with a dark background. The top part of the terminal displays a series of sensor data lines, each starting with "data:" followed by a long string of numbers and coordinates. The data lines are separated by "----" markers. Below the terminal output, there is a window titled "CARLA ROS manual control". This window displays various vehicle status metrics and control options. The metrics include Frame (37842), Simulation time (0:31:43), FPS (20.0), Vehicle (Bmw Grandtourer), Speed (0 km/h), Heading (0N[DEGREE SIGN] N), Location (-25.2, 167.3), GNSS (66.480443, 25.721133), Height (78 m), and Sensor data (5,168,66.48,25.72,755,04/27/2022,13:15:17,767,118.40,314.80,0.48,NW,2196,233.44,SW,16815,42,2). Below these metrics are control sliders for Throttle, Steer, and Brake, and checkboxes for Reverse, Hand brake, Manual, Gear (set to N), and Manual ctrl. A prompt "Press <H> for help" is visible at the bottom of the HUD window.

```

----
data: "5,168,66.48,25.72,284,04/27/2022,13:15:07,297,107.10,317.97,1.83,NW,2196,233.44,SW,13684,22,2"
----
data: "5,168,66.48,25.72,330,04/27/2022,13:15:08,343,108.50,317.97,0.63,NW,2196,233.44,SW,13995,24,2"
----
data: "5,202,66.48,25.72,379,04/27/2022,13:15:09,392,111.80,342.81,1.15,NNW,2196,233.44,SW,14306,26,2"
----
data: "5,202,66.48,25.72,415,04/27/2022,13:15:10,428,121.00,342.81,1.04,NNW,2196,233.44,SW,14617,28,2"
----
data: "5,202,66.48,25.72,470,04/27/2022,13:15:11,483,116.10,342.81,0.41,NNW,2196,233.44,SW,14926,30,2"
----
data: "5,168,66.48,25.72,523,04/27/2022,13:15:12,536,121.30,342.81,1.04,NNW,2196,233.44,SW,15235,32,2"
----
data: "5,168,66.48,25.72,565,04/27/2022,13:15:13,578,119.40,342.81,0.06,NNW,2196,233.44,SW,15544,34,2"
----
data: "5,168,66.48,25.72,613,04/27/2022,13:15:14,626,121.60,168.51,1.48,SSE,2196,233.44,SW,15853,36,2"
----
data: "5,168,66.48,25.72,656,04/27/2022,13:15:15,669,118.20,314.80,1.46,NW,2196,233.44,SW,16162,38,2"
----
data: "5,168,66.48,25.72,701,04/27/2022,13:15:16,714,125.30,314.80,0.31,NW,2196,233.44,SW,16471,40,2"
----
data: "5,168,66.48,25.72,755,04/27/2022,13:15:17,767,118.40,314.80,0.48,NW,2196,233.44,SW,16815,42,2"
----

```

**CARLA ROS manual control**  
 Frame: 37842  
 Simulation time: 0:31:43  
 FPS: 20.0  
 Vehicle: Bmw Grandtourer  
 Speed: 0 km/h  
 Heading: 0N[DEGREE SIGN] N  
 Location: (-25.2, 167.3)  
 GNSS: ( 66.480443, 25.721133)  
 Height: 78 m  
 Sensor data: 5,168,66.48,25.72,755,04/27/2022,13:15:17,767,118.40,314.80,0.48,NW,2196,233.44,SW,16815,42,2  
 Throttle:   
 Steer:   
 Brake:   
 Reverse:   
 Hand brake:   
 Manual:   
 Gear: N  
 Manual ctrl:   
 Press <H> for help

Kuvio 30. Terminaalissa varmistettu piha-alueelta vastaanotettu GPS-paikka-tieto

### 3.6.3 Tiedonvälityksen testaaminen

Kun Esproswifi-ohjelma tuki sekä rosserial -, WiFi -ja GPS-moduulin yhteyksiä, oli koodiin lisättävä lähetettävää staattista tietoa ja toiminnallisuus datan erottamiselle pilkuilla. Kuvion 31 staattisella tiedolla oli mahdollista työstää helposti datan muotoa Carla-ympäristössä, koska GPS-moduulia ei hyödynnetty koodin työstämisen aikana. Tieto oli käytännössä heti saatavilla keinotekoisesti. Solmun *carla\_manual\_control* muokkaus onnistui lopulta hyvin, ja testattavan datan avulla saatiin eroteltua GPS-moduulista saatavaa tietoa Carlan HUD-arvoihin.

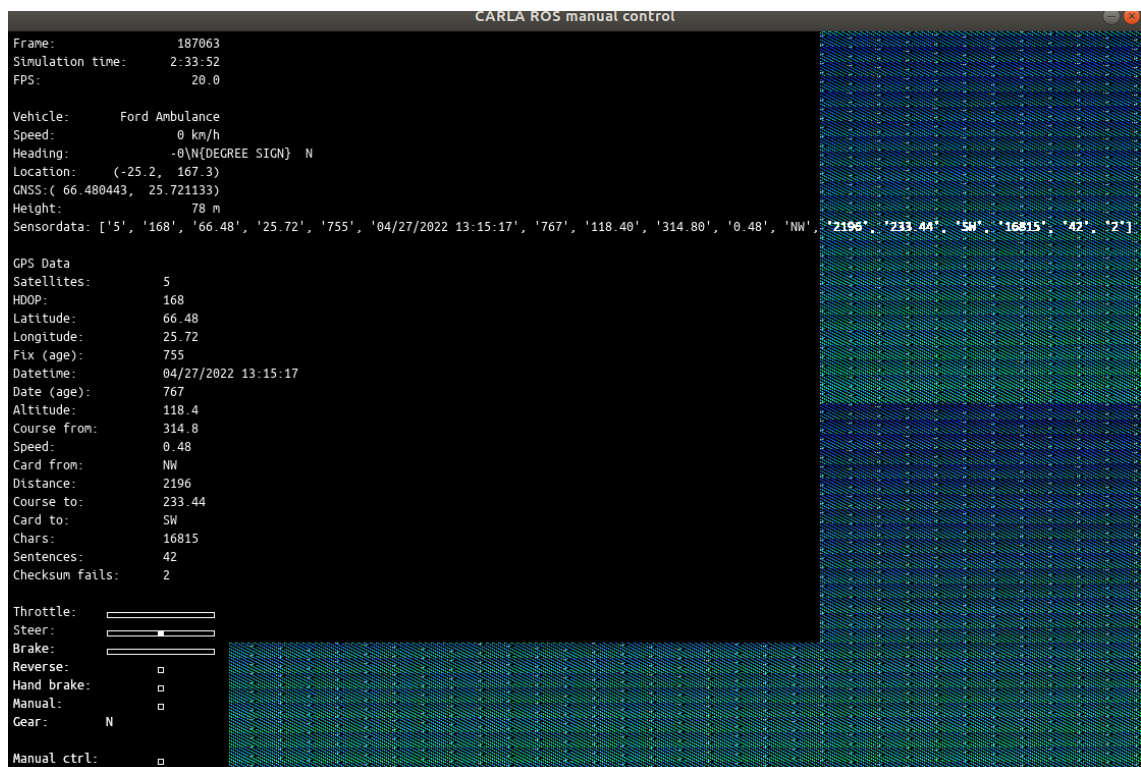
```

124  strcat(gpsData, "5,168,66.48,25.72,755,04/27/2022 13:15:17,767,118.40,314.80,0.48,NW,2196,233.44,SW,16815,42,2");
125  delay(2500);
126  Serial.println(gpsData);

```

### Kuvio 31. Strcat-komennolla liitetty kokeiltava data

Kuviossa 32 nähdään Carla-ympäristössä vastaanotettu keinotekoinen paikkatieto. Paikkatieto näkyy kuvassa Python-listana *Sensordatan* kohdalla ja lajiteltuna tietona *GPS Datan* kohdalla.



### Kuvio 32. Testattavan tiedon muotoilu kohdan *GPS Data* alapuolella

Pilkuilla erotettu data saatiin aikaan muokkaamalla Esproswifin koodia. Koodin loppuun lisättiin funktio `print_separator` kuvion 33 mukaisesti, jota kutsuttiin aina muiden print-funktioiden yhteydessä. Muuttujan `separatorVal` arvoksi asetetaan luku 17, koska erityyppisiä print-funktioita kutsutaan loop-funktion aikana 16 kertaa, joista `print_date` -funktion sisällä käytetään vielä kerran `print_int` -funktiota. Muut print-funktiot tallensivat erilaisilla tyypeillä ilmoitettua paikkatietoa tekstinä array-muuttujaan `gpsData`, joka toimi tiedon keräämisessä. Myös turhia välejä poistettiin koodista, jotta GPS-moduulista tuleva data näkyisi jatkossa selkeämmin ja tietoa olisi helpompi käsitellä Carla-ympäristössä.

```
void print_separator() {  
    if (separatorVal > 0) {  
        strcat(gpsData, ",");  
    }  
    else if (separatorVal <= 0)  
    {  
        separatorVal = 17;  
    }  
}
```

Kuvio 33. Print\_separator-funktio

#### 3.6.4 Lopullisen tiedonvälityksen testaaminen

Kun tiedon muotoileminen oli valmista keinotekoisien datan avulla, tehtiin viimeiset testit vielä aidolla paikkatiedolla. Kuvion 34 paikkatiedot olivat testaushetkellä hieman heitteleviä, joka johtuu todennäköisesti vähäisestä satelliittien lukumäärästä. Muotoiltu tieto olisi näkynyt paljon siistimmin HUD-arvojen näkymässä, jos heittelevät arvot eivät olisi olleet kovin suuria.

The image shows a terminal window with a list of sensor data points and a CARLA ROS manual control window displaying vehicle information.

**Terminal Output:**

```

data: "1,9999,66.48,25.72,19007,05/04/2022 07:01:10,19018,45.10,157.34,2.80,SSE,2196,233.44,SW,48115,147,0"
data: "1,9999,66.48,25.72,20063,05/04/2022 07:01:10,20074,45.10,157.34,2.80,SSE,2196,233.44,SW,48385,147,0"
data: "1,9999,66.48,25.72,21114,05/04/2022 07:01:10,21125,45.10,157.34,2.80,SSE,2196,233.44,SW,48656,147,0"
data: "1,9999,66.48,25.72,22165,05/04/2022 07:01:10,22176,45.10,157.34,2.80,SSE,2196,233.44,SW,48935,147,0"
data: "1,9999,66.48,25.72,23220,05/04/2022 07:01:10,23231,45.10,157.34,2.80,SSE,2196,233.44,SW,49181,147,0"
data: "1,9999,66.48,25.72,24267,05/04/2022 07:01:10,24278,45.10,157.34,2.80,SSE,2196,233.44,SW,49403,147,0"
data: "1,9999,66.48,25.72,25316,05/04/2022 07:01:10,25327,45.10,157.34,2.80,SSE,2196,233.44,SW,49626,147,0"
data: "1,9999,66.48,25.72,26370,05/04/2022 07:01:10,26381,45.10,157.34,2.80,SSE,2196,233.44,SW,49849,147,0"
data: "1,9999,66.48,25.72,27417,05/04/2022 07:01:10,27428,45.10,157.34,2.80,SSE,2196,233.44,SW,50071,147,0"
data: "1,9999,66.48,25.72,28465,05/04/2022 07:01:10,28476,45.10,157.34,2.80,SSE,2196,233.44,SW,50293,147,0"
data: "1,9999,66.48,25.72,29519,05/04/2022 07:01:10,29530,45.10,157.34,2.80,SSE,2196,233.44,SW,50515,147,0"
data: "1,9999,66.48,25.72,30567,05/04/2022 07:01:10,30578,45.10,157.34,2.80,SSE,2196,233.44,SW,50737,147,0"
data: "1,9999,66.48,25.72,31614,05/04/2022 07:01:10,31625,45.10,157.34,2.80,SSE,2196,233.44,SW,50959,147,0"
data: "1,9999,66.48,25.72,32668,05/04/2022 07:01:10,32679,45.10,157.34,2.80,SSE,2196,233.44,SW,51181,147,0"

```

**CARLA ROS manual control Window:**

```

Frame: 8948
Simulation time: 0:05:55
FPS: 20.0

Vehicle: Chevrolet Impala
Speed: 0 km/h
Heading: -0(N(NDGREE SION) N
Location: (-25.2, 167.3)
GNSS: ( 66.480443, 25.721133)
Height: 78 m
SensorData: ['1', '9999', '66.48', '25.72', '32668', '05/04/2022 07:01:10', '32679', '45.10', '157.34', '2.80', 'SSE', '2196', '233.44', 'SW', '51181', '147', '0']

GPS Data
Satellites: 1
HDOP: 9999
Latitude: 66.48
Longitude: 25.72
Fix (app): 32668
Datetime: 05/04/2022 07:01:10
Date (age): 32679
Altitude: 45.1
Course from: 157.34
Speed: 2.8
Card from: SSE
Distance: 2196
Course to: 233.44
Card to: SW
Chars: 51181
Sentences: 147
Checksum fails: 0

Throttle: [Slider]
Steer: [Slider]
Brake: [Slider]
Reverse: [Checkbox]
Hand brake: [Checkbox]
Manual: [Checkbox]
Gear: N
Manual ctrl: [Checkbox]

annual override to: False

```

Kuvio 34. Esproswifi-ohjelman ja Carlan testaaminen aidolla paikkatiedolla

#### 4 SISÄPAIKANNUSJÄRJESTELMÄ

Marvelmind-laitteiston käyttämä langaton radioteknologia perustuu ultraääneen. Ultraäänen lyhenteenä käytetään kirjaimia *UWB*. Ultraääni on ääntä, jonka taajuuden alarajaksi on määritetty noin 20 kilohertsiä. Alarajasta korkeampia ääniä pystyvät kuulemaan enimmäkseen eläimet. Ultraääntä hyödynnetään muun muassa kaikuluotauksessa, hammaskiven poistossa ja lääketieteen suorittamassa ihmisen kehon kuvantamisessa. (Oulun Ultra Oy 2022.)

Alun perin Marvelmind-laitteisto oli ollut ennestään kampuksella kokeilussa. Koska järjestelmän liikkeen tarkkailussa oli havaittu häiriöitä, päätettiin järjestelmää kokeilla vielä uudelleen. Majakoiden testialue robotiikkalaboratoriossa oli merkitty valkoisella viivalla, joka muodosti neliön muotoisen alueen. Paikallaan olevat majakat asetettiin alueen jokaiseen kulmaan, ja liikkuvaa majakkaa liikutettiin alueen sisäpuolella. Kuviossa 35 nähdään kannettava tietokone, jonka lähellä sinisessä ympyrässä oleva modeemi saa micro USB -kaapelin kautta virtaa. Liikuteltava majakka Hedge löytyy keltaisen ympyrän kohdalta kannettavan tietokoneen vierestä.



Kuvio 35. Majakoiden testialue robotiikkalaboratoriossa (808 x 631 cm)

#### 4.1 Kokoonpanon ominaisuudet

Aloituspaketti Marvelmind Starter Set Super-MP-3D, jonka Marvelmind Robotics on suunnitellut, sisältää viisi majakkaa ja yhden modeemin. Majakoista neljä kappaletta on paikallaan olevia majakoita, joista viides majakka Hedge toimii kannettavana majakkana. Kuviossa 36 vasemmalla oleva pienin laite on reititin/modeemi, kuvan keskellä on liikuteltava Hedge ja muut Hedgen ympärillä olevat majakat ovat paikallaan olevia majakoita.



Kuvio 36. Marvelmind-laitteisto, 5 majakkaa ja modeemi

Majakat lähettävät tietoa tavallisesti suoraan modeemille. Tietojen lähettäminen majakoiden osalta vaihtelee sen mukaan, onko majakoiden sijainteja määritetty ennestään vai määritetäänkö sijainteja parhaillaan. Sijainnit määritetään *sub-mapissa* eli alikartassa joko manuaalisesti tai automaattisesti. (Marvelmind Robotics 2020.)

Laitteiston tarkkuudeksi on ilmoitettu keskiarvollisesti noin  $\pm 2$  senttimetriä. Alikarttojen avulla on mahdollista kattaa majakoita niin suurelle alueelle kuin tarvitaan. Yksittäisen alikartan avulla laitteiston kantamaksi voidaan saada jopa 30 metriä. (Marvelmind 2020, 4.)

Monilla ultraääneen perustuvilla järjestelmillä on monesti korkea hinta, ja järjestelmät voivat maksaa jopa tuhansia euroja. Marvelmind-laitteiston hinta oli 500 euroa, joka oli kuitenkin todettu laitteiston hankinnan yhteydessä kohtuulliseksi.

## 4.2 Arkkitehtuurien väliset erot

Molemmissa arkkitehtuureissa tuetaan kaiken kaikkiaan 250:tä yhtäaikaista majakkaa. Lukumäärä sisältää sekä kannettavat että paikallaan olevat majakat. (Marvelmind Robotics 2020.)

### 4.2.1 Ei-käänteinen arkkitehtuuri

NIA-arkkitehtuurissa Hedge-majakoita suositellaan käytettäväksi yhtäaikaisesti 1–4 kappaletta, jotka voidaan jakaa autonomisiin alustoihin käytettäväksi. Kannettava majakka asetetaan alustaan mukaan. Paikallaan olevien majakoiden on oltava hiljaisemmissa paikoissa, ettei ultraäänelle aiheudu häiriötä paikantamisen aikana. (Marvelmind 2020, 4.)

Kun majakoiden kartta on rakennettu, kannettava majakka lähettää ultraääntä ja paikallaan olevat majakat vastaanottavat ultraääntä. Jos karttaa rakennetaan parhaillaan, modeemi hallitsee jokaista majakkaa. Tällöin majakat lähettävät ja vastaanottavat ultraääntä ja modeemi kerää jokaisen majakan tiedot etäisyyksistä. Ultraäänen lähetys ja vastaanotto riippuu kuitenkin laitteiston firmwaren versiosta ja itse laitteistosta. On muistettava, että tässä arkkitehtuurissa jokainen majakka toimii samalla taajuudella. Tavallisesti majakat käyttävät 31 kilohertsiä. (Marvelmind Robotics 2020.)

### 4.2.2 Käänteinen arkkitehtuuri

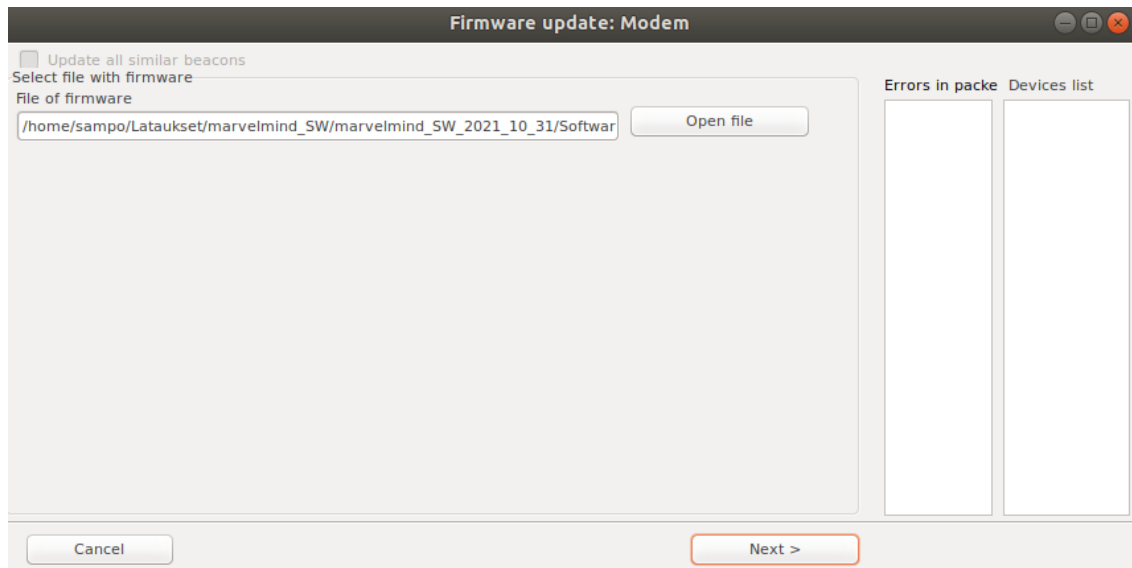
IA soveltuu tilanteisiin, joissa kannettavat majakat ovat hiljaisemmissa paikoissa. Käyttötilanteen alustaksi soveltuu myös drone, vaikka kannettavat majakat vastaanottavat tietoa. Kannettavan majakan kantama dronella on kuitenkin melko rajallinen, noin 2–5 metriä. (Marvelmind 2020, 4.)

Aikaisempaan arkkitehtuuriin verrattuna IA kykenee toimimaan monimutkaisemmissa struktuureissa. Tässä arkkitehtuurissa paikallaan olevat majakat lähettävät

ultraääntä ja kannettavat majakat vastaanottavat ultraääntä. Toisin sanoen arkkitehtuuri tukee monta samanaikaista kannettavaa majakkaa. Arkkitehtuurin jokainen majakka käyttää eri taajuutta 19–45 kilohertsin väliltä. (Marvelmind Robotics 2020.)

### 4.3 Määrittäminen

Laitteiston määrittämisessä käytettiin ohjelmistoa nimeltä Dashboard, jonka oli kehittänyt Marvelmind Robotics. Alussa laitteita kytkettiin micro USB -kaapelin kautta yksitellen tietokoneelle, jossa Dashboard pyysi päivittämään laitteistopohjaisen ohjelmiston eli firmwären kunkin laitteen kohdalla ajan tasalle. Tähän tarvittava firmware-päivittäjä nähdään kuviossa 37. Laitteiden päivitysten yhteydessä valittiin ensiksi NIA-arkkitehtuuriin perustuva firmware, koska NIA on helposti käyttöön otettavissa johtuen majakoiden samoista taajuusalueista ja radio-kanavista.



Kuvio 37. Laitteiston firmware-päivittäjän näkymä

Kun päivitykset oli tehty laitteisiin, valittiin Dashboard-ohjelmassa *Submap 0* ja päällä olevat majakat herätettiin ohjelman alapalkista numeroinnin mukaan. Majakat olivat numeroituina 7–10, ja Hedge-majakka löytyi numerona 5. Majakoiden sijainnit määritettiin ohjelman toiminnolla *update*. Sijainnin määrittämisessä pystyi hyödyntämään auto ja manual moodeja ohjelman yläkentän ohjeiden mukaisesti.

Sijainnin määrittämisen pystyi jäädyttämään ohjelman toiminnolla *freeze submap*. Alun perin kaikkiin majakoihin oli määritetty ultraäänentaajuus 31 kilohertsiä ja radiotaajuusalueeksi 915 megahertsiä. Radiokanava oli määritetty puolestaan arvoksi 0 jokaisen majakan kohdalla.

Seuraavassa kuvassa nähdään majakoiden määritetty tila. Ohjelmiston oikeanpuoleisesta palkista pystytään määrittämään tai tarkistamaan majakoiden arvoja.

Dashboard - robots management V7.000 ultimate

File Language View Firmware Licenses Help

Marvelmind robots

Map is not frozen

	7	8	9	10
5	0.741	1.561	0.852	1.569
7		2.158	1.011	1.989
8	2.212		1.972	1.014
9	1.014	1.939		2.223
10	2.029	1.011	2.256	

Beacon 7: X=1.312, Y=-2.372, Z=20.000 IMU

Beacon 8: X=1.112, Y=-2.372, Z=20.000 IMU

Beacon 9: X=1.312, Y=-2.372, Z=20.000 IMU

Beacon 10: X=1.312, Y=-2.372, Z=20.000 IMU

Beacon Settings:

- CPU ID: 093E4B
- Firmware version: V7.000 Super-Beacon
- Power save functions: enabled / not frozen
- Hedgehog mode: Normal
- Supply voltage: V (3.5: 4.2): 4.20
- Time from reset: h:m:s: 00:17:56 / 10.47.46 / 0
- RSSI from modem: dBm: -37
- RSSI to modem: dBm: -45
- Profile: General
- Radio frequency band: "915 MHz"
- Camera frequency: MHz: 919.0
- Radio channel: 0
- Device address (1..254): 10
- Height: m (-320.000..320.000): 0.000
- Measured temperature: °C: 23
- Ultrasonic frequency: Hz (100..65000): 31000
- Desired speed: % (0..100): n/a
- IMU: (0) expand
- Parameters of radio: (0) expand
- Ultrasonic: (0) expand
- Interfaces: (0) expand
- Misc. settings: (0) expand
- Hedgehogs pairing: (0) expand
- Real-time player: disabled
- Real-time player backward (0..127): 3
- Real-time player forward (0..127): 5

Buttons: Update, Manual, Apply, Freeze submap!, Freeze subimap

Bottom status: Connected: COM4, X: 2.395, Y: -2.732, Rate: 1.3 Hz, 5, 80 total, 0 failed (0%)

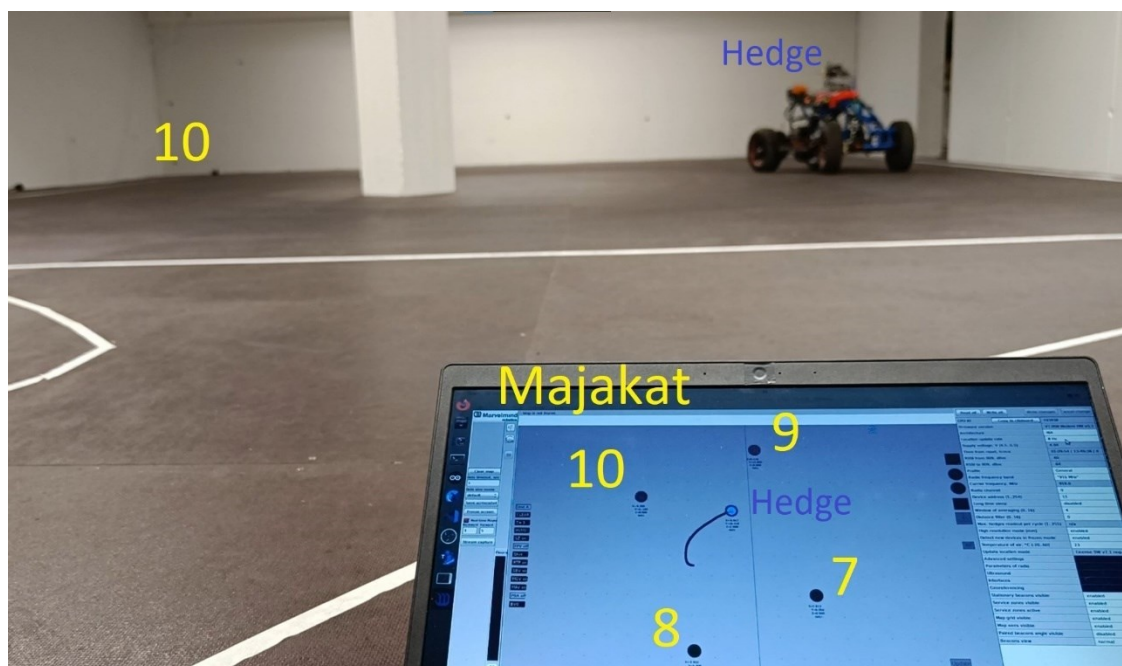
Kuvio 38. Näkymä Dashboard-ohjelmistosta ja NIA-arkkitehtuuriin määritetyistä majakoista

Kun varmuus majakoiden toiminnasta oli saavutettu, siirryttiin majakoita testaamaan robotiikkalaboratorion testiympäristöön. Kaikki neljä majakkaa löytyivät Dashboardista, ja Hedge-majakka liikkui ohjelman näkymässä muutaman sekunnin viiveellä. Erityisempiä ongelmia kokeilun aikana ei tullut vastaan. Kuviossa 39 nähdään tilanne, jossa Hedge-majakkaa liikutettiin kävelemällä. Majakka on liikunut kuvion mukaan rajatun testialueen rajoilla.



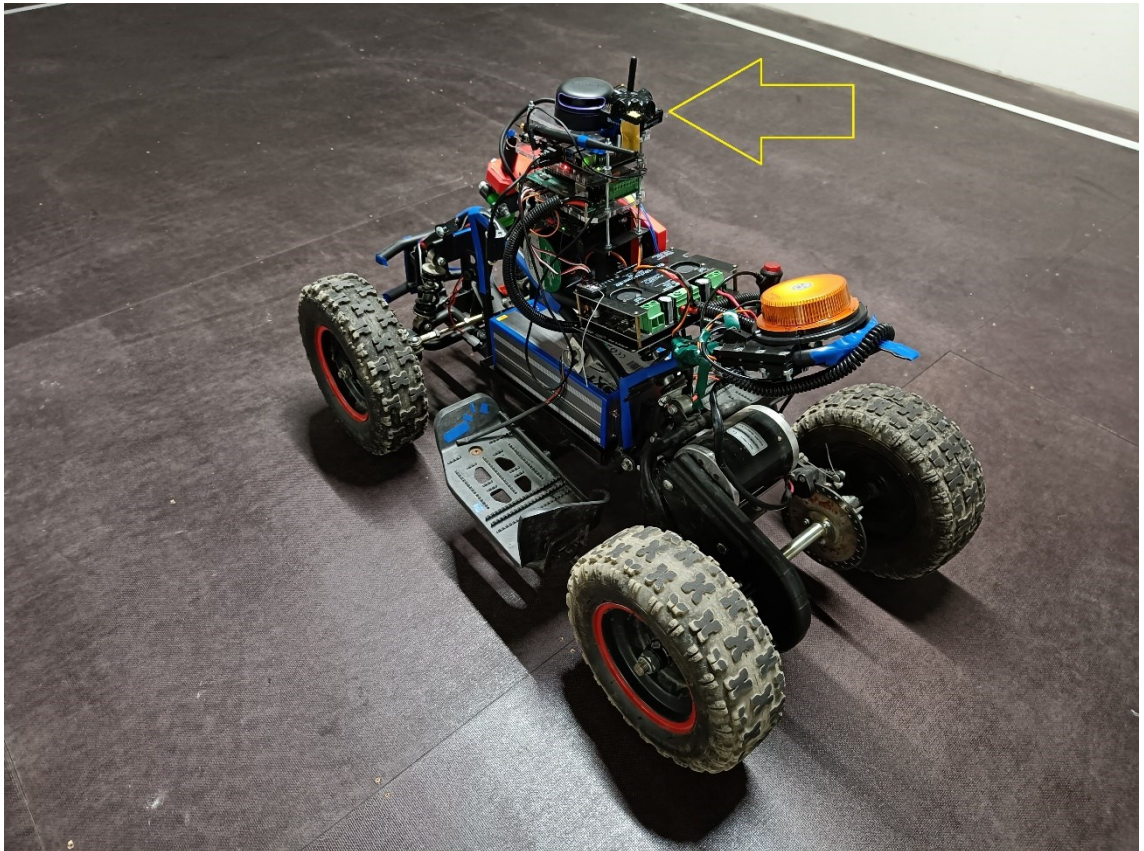
Kuvio 39. Robottiikkalaboratoriossa suoritettu NIA-arkkitehtuurin testaus

Myöhemmin Hedge-majakkan liikuttamista kokeiltiin miniATV-alustalla. Alapuo-  
 lla sijaitsevasta kuviosta selviää majakoiden numerot ja sijainnit. Kuviosta voi-  
 daan todeta Hedgen liikkuvan Dashboard-ohjelman näkymässä pienellä viiveellä.  
 Hedgen takaa löytyy paikallaan olevista majakoista numero 9. Tätä majakkaa  
 vastapäätä on puolestaan numero 7. Kuvaajasta vasemmanpuoleisin majakka  
 on numero 8.



Kuvio 40. Kauko-ohjattavan miniATV-alustan seuranta Hedge-majakkan avulla

Kuviossa 41 nähdään miniATV-alustaan asetettu Hedge-majakka. Majakka oli ti-  
lapäisesti kiinnitetty alustan korkeimpaan kohtaan.



Kuvio 41. Kiinnitetyn Hedge-majakan paikka alustassa

Myöhemmin kokeilussa oli IA-arkkitehtuuri. Kaikkiin majakoihin ladattiin IA-arkki-  
tehtuuriin perustuvat firmware-ohjelmat, mutta majakoiden löytämisessä ilmeni  
ongelmia. Suurin osa majakoista katosi Dashboardin näkymästä. Ongelmia kar-  
toitettiin vaihtamalla majakoiden radiotaajuutta ja radiokanavia sekä ultraääneen  
käytettyjä taajuuksia. Ultraääneen käytetyt taajuudet asetettiin Marvelmindin jul-  
kaiseman arkkitehtuurien vertailuun tarkoitetun PDF-tiedoston tietojen avulla.  
Testissä vain yksi majakoista näkyi Hedgen lisäksi.

## 5 POHDINTA

Opinnäytetyön aikana Ubuntun tukemat ympäristöt ja komentotulkissa suoritettavat komennot tulivat tutuiksi. Kehittämisen näkökulmasta ROS-ympäristö toimi uutena kokemuksena robotiikan osalta. GPS-moduulin toiminnan testaaminen oli alussa haastavaa, koska yhteyden saaminen satelliitteihin saattoi kestää yllättävän kauan. Ylimääräiset vastaanottimen testaukset olivat tarpeen, jotta vastaanottimen toimivuudelle saatiin varmuus.

Projektissa eniten aikaa kului GPS-vastaanottimen koodin kehittämiseksi. Vaikka Internetissä oli valmiita koodin pohjia saatavilla, oli niiden soveltaminen ja toimivuuden testaaminen aikaa vievää ja tarkkuutta vaativaa. ESP32:n käyttämä Arduino C -kieli eroaa perinteisestä C-kielestä monella eri tavalla. Tähän syynä on lähinnä se, että Arduino C -kieli on suunniteltu sulautetuille järjestelmille ja mikrokontrollereille perinteisten tietokoneiden sijaan.

Projektiin ei ollut saatavilla Pozyxin valmistamia laitteita. Aikataulun vuoksi Novatel-paikannusjärjestelmä oli jätettävä pois testattavista paikannusjärjestelmistä. Kaiken kaikkiaan projektissa saatiin selville Marvelmindin ja mikrokontrollerin hyödyntämisen GPS-paikantimen toimivuudet, joista seuraavilla kehittäjillä on helpompi jatkaa paikannusjärjestelmien kehittämistä.

Ulkopaikannuksen parannusehdotuksena on käyttää ulkokäyttöön soveltuvia verkkoantenneja, jotta langattoman verkon signaalia saataisiin vahvemmaksi. Paremmista kuuluvista verkkosignaaleista on huomattavasti hyötyä alustojen paikannusjärjestelmän jatkokehityksessä.

## LÄHTEET

Arduino 2007. GitHub. license.txt. Viitattu 29.4.2022 <https://github.com/arduino/Arduino/blob/master/license.txt>.

Botfel Estonia 2021. Operaattorivertailu. Selvitys Suomen 5G verkkojen kuuluvuudesta. Viitattu 18.4.2022 [https://static.elisa.com/v2/image/2tqybbhjs47b/lm50m7H4Mdm0xJ08RHRh1/BofTel\\_Ver-tailumittaus\\_12-2021.pdf](https://static.elisa.com/v2/image/2tqybbhjs47b/lm50m7H4Mdm0xJ08RHRh1/BofTel_Ver-tailumittaus_12-2021.pdf).

CARLA Team 2022. Introduction. Viitattu 3.5.2022 <https://carla.org/>.

Espressif Systems 2022. ESP32-WROOM-32D & ESP32-WROOM-32U Datasheet. Viitattu 28.4.2022 [https://www.espressif.com/sites/default/files/documentation/esp32-wroom-32d\\_esp32-wroom-32u\\_datasheet\\_en.pdf](https://www.espressif.com/sites/default/files/documentation/esp32-wroom-32d_esp32-wroom-32u_datasheet_en.pdf).

GeeksforGeeks 2021. Source command in Linux with Examples. Viitattu 24.4.2022 <https://www.geeksforgeeks.org/source-command-in-linux-with-examples/>.

Google Maps 2022. Satelliittikuva Rantavitkalta. Viitattu 18.4.2022 <https://www.google.com/maps/@66.4808355,25.7217383,79m/data=!3m1!1e3>.

Hart, M. 2013. GitHub. Test\_with\_gps\_device. Viitattu 23.4.2022 [https://github.com/mikalhart/TinyGPS/blob/master/examples/test\\_with\\_gps\\_device/test\\_with\\_gps\\_device.ino](https://github.com/mikalhart/TinyGPS/blob/master/examples/test_with_gps_device/test_with_gps_device.ino).

Henttu, P. & Lehtoranta, V. K. 1993. GPS. Maailmanlaajuinen satelliittinavigointijärjestelmä. Opas uuteen aikaan.

Kosatsky, T. 2013. British Columbia Centre for Disease Control. Viitattu 26.4.2022 <http://www.bccdc.ca/resource-gallery/Documents/Educational%20Materials/EH/Radiofrequency-Toolkit.pdf#page=14>.

Logistiikan Maailma 2022. Esineiden Internet. Viitattu 26.5.2022 <https://www.logistiikanmaailma.fi/logistiikka/digitalisaatio/esineiden-internet/>.

Maanmittauslaitos 2022. Häiriöitä satelliittipaikannuksessa? Yleisimmät syyt GNSS-häiriöihin. Viitattu 25.5.2022 <https://www.maanmittauslaitos.fi/ajankoh-taista/hairioita-satelliittipaikannuksessa-yleisimmat-syyt-gnss-hairioihin>.

Marvelmind 2020. Architectures comparison. Viitattu 23.4.2022 [https://mar-velmind.com/pics/architectures\\_comparision.pdf](https://mar-velmind.com/pics/architectures_comparision.pdf).

Marvelmind Robotics 2020. Help: Inverse Architecture (IA) vs. Non-Inverse Architecture (NIA). Viitattu 24.4.2022 <https://www.youtube.com/watch?v=dwEj1ko-HAdM>.

National Coordination Office for Space-Based Positioning, Navigation, and Timing 2021. Other Global Navigation Satellite Systems (GNSS). Viitattu 25.4.2022

[https://www.gps.gov/systems/gnss/#:~:text=GLONASS%20\(Global-naya%20Navigazionnaya%20Sputnikovaya%20Sistema,system%20consists%20of%2024%2B%20satellites](https://www.gps.gov/systems/gnss/#:~:text=GLONASS%20(Global-naya%20Navigazionnaya%20Sputnikovaya%20Sistema,system%20consists%20of%2024%2B%20satellites).

National Coordination Office for Space-Based Positioning, Navigation, and Timing 2022. Space Segment. Viitattu 10.4.2022 <https://www.gps.gov/systems/gps/space/>.

Nunez, A. 2017. GitHub. Esproswifi. Viitattu 23.4.2022 <https://github.com/agnunez/espros/blob/master/examples/esproswifi/esproswifi.ino>.

Oulun Ultra Oy 2022. Ultraääni: mitä se on ja mihin sitä käytetään. Viitattu 17.4.2022 <https://oulunultra.fi/ultraaani/>.

ROS 2022a. ROS - Robot Operating System. Viitattu 18.4.2022 <https://www.ros.org/>.

ROS 2022b. Nodes. Viitattu 23.4.2022 <https://wiki.ros.org/Nodes>.

ROS 2022c. Rosbridge. Viitattu 3.5.2022 [http://wiki.ros.org/rosbridge\\_suite](http://wiki.ros.org/rosbridge_suite).

ROS 2022d. Roscore. Viitattu 23.4.2022 <https://wiki.ros.org/roscore>.

ROS 2022e. Roslaunch. Viitattu 3.5.2022 <http://wiki.ros.org/roslaunch>.

ROS 2022f. Rosserial. Viitattu 23.4.2022 <https://wiki.ros.org/roserial>.

ROS 2022g. Topics. Viitattu 23.4.2022 <https://wiki.ros.org/Topics>.

Seeed Technology 2021. Grove GPS. Viitattu 28.4.2022 <https://wiki.seeedstudio.com/Grove-GPS/>.

## LIITTEET

- Liite 1. GPS-vastaanottimen lähdekoodi (esproswifi.ino)
- Liite 2. Muokattu Python-koodi (talker.py)

GPS-vastaanottimen lähdekoodi (esproswifi.ino)

Liite 1 (1/7)

```
#include "WiFi.h"
#include <SoftwareSerial.h>
#include <TinyGPS.h>
#include <ros.h>
#include <std_msgs/String.h>
#include <std_msgs/Int16.h>
#include <std_msgs/Float64.h>
```

```
////////////////////////////////
```

```
// WiFi Definitions //
```

```
////////////////////////////////
```

```
const char* ssid = ""; // Name of the WiFi network
const char* password = ""; // WiFi network password
```

```
TinyGPS gps;
```

```
SoftwareSerial ss(3, 1); // RX, TX
```

```
IPAddress server(192, 168, 1, 102); // IP of ROS server
```

```
IPAddress ip_address;
```

```
int status = WL_IDLE_STATUS;
```

```
char gpsData[100] = ""; // Read GPS module data to this char array
```

```
int separatorVal = 17; // Operates data separation on gpsData, value includes
amount of used print functions in loop plus one extra time on print date function
```

```
class WiFiHardware {
```

```
public:
```

```
WiFiHardware() {};
```

```
void init() {
```

```
    // do your initialization here. this probably includes TCP server/client setup
    client.connect(server, 11411);
```

```
}
```

GPS-vastaanottimen lähdekoodi (esproswifi.ino)

Liite 1 (2/7)

```

// read a byte from the serial port. -1 = failure
int read() {
    // implement this method so that it reads a byte from the TCP connection and
returns it
    // you may return -1 is there is an error; for example if the TCP connection is
not open
    return client.read();    //will return -1 when it will works
}

// write data to the connection to ROS
void write(uint8_t* data, int length) {
    // implement this so that it takes the arguments and writes or prints them to
the TCP connection
    for(int i=0; i<length; i++)
        client.write(data[i]);
}

// returns milliseconds since start of program
unsigned long time() {
    return millis(); // easy; did this one for you
}

protected:
    WiFiClient client;

};

void setupWiFi()
{
    WiFi.begin(ssid, password);
    Serial.print("\nConnecting to "); Serial.println(ssid);
    uint8_t i = 0;
    while (WiFi.status() != WL_CONNECTED && i++ < 20) delay(500);

```

GPS-vastaanottimen lähdekoodi (esproswifi.ino)

Liite 1 (3/7)

```
if(i == 21){  
    Serial.print("Could not connect to"); Serial.println(ssid);  
    while(1) delay(500);  
}  
Serial.print("Ready! Address is ");  
Serial.print(WiFi.localIP());  
}
```

```
std_msgs::String str_msg;  
ros::NodeHandle_<WiFiHardware> nh;  
ros::Publisher chatter("testdata", &str_msg);
```

```
void setup() {  
    Serial.begin(115200);  
    delay(1000);  
    Serial.println("WiFi Setup");  
    setupWiFi();  
    delay(2000);  
    Serial.println("GPS module setup");  
    ss.begin(9600);  
    delay(2000);  
    Serial.println("GPS module setup done");  
    delay(2000);  
    Serial.println("init node");  
    nh.initNode();  
    Serial.println("init node done");  
    delay(10000);  
    nh.advertise(chatter);  
    Serial.println("\nSetup done");  
}
```

```
void loop() {  
    float flat, flon;
```

GPS-vastaanottimen lähdekoodi (esproswifi.ino)

Liite 1 (4/7)

```

unsigned long age, date, time, chars = 0;
unsigned short sentences = 0, failed = 0;
static const double LONDON_LAT = 51.508131, LONDON_LON = -0.128002;

print_int(gps.satellites(), TinyGPS::GPS_INVALID_SATELLITES, 5);
print_int(gps.hdop(), TinyGPS::GPS_INVALID_HDOP, 5);
gps.f_get_position(&flat, &flon, &age);
print_float(flat, TinyGPS::GPS_INVALID_F_ANGLE, 10, 2); // 6
print_float(flon, TinyGPS::GPS_INVALID_F_ANGLE, 11, 2); // 6
print_int(age, TinyGPS::GPS_INVALID_AGE, 5);
print_date(gps);

print_float(gps.f_altitude(), TinyGPS::GPS_INVALID_F_ALTITUDE, 7, 2);
print_float(gps.f_course(), TinyGPS::GPS_INVALID_F_ANGLE, 7, 2);
print_float(gps.f_speed_kmph(), TinyGPS::GPS_INVALID_F_SPEED, 6, 2);
print_str(gps.f_course() == TinyGPS::GPS_INVALID_F_ANGLE ? "*****" : Ti-
nyGPS::cardinal(gps.f_course()), 6);
print_int(flat == TinyGPS::GPS_INVALID_F_ANGLE ? 0xFFFFFFFF : (un-
signed long)TinyGPS::distance_between(flat, flon, LONDON_LAT, LON-
DON_LON) / 1000, 0xFFFFFFFF, 9);
print_float(flat == TinyGPS::GPS_INVALID_F_ANGLE ? TinyGPS::GPS_IN-
VALID_F_ANGLE : TinyGPS::course_to(flat, flon, LONDON_LAT, LON-
DON_LON), TinyGPS::GPS_INVALID_F_ANGLE, 7, 2);
print_str(flat == TinyGPS::GPS_INVALID_F_ANGLE ? "*****" : TinyGPS::cardi-
nal(TinyGPS::course_to(flat, flon, LONDON_LAT, LONDON_LON)), 6);

gps.stats(&chars, &sentences, &failed);
print_int(chars, 0xFFFFFFFF, 6);
print_int(sentences, 0xFFFFFFFF, 10);
print_int(failed, 0xFFFFFFFF, 9);

str_msg.data = gpsData;
chatter.publish( &str_msg );

```

GPS-vastaanottimen lähdekoodi (esproswifi.ino)

Liite 1 (5/7)

```
strcpy(gpsData, ""); // Empty the char array for a new round in this loop
```

```
nh.spinOnce();
```

```
smartdelay(1000); // Very important for getting GPS data
```

```
}
```

```
static void smartdelay(unsigned long ms)
```

```
{
```

```
  unsigned long start = millis();
```

```
  do
```

```
  {
```

```
    while (ss.available())
```

```
      gps.encode(ss.read());
```

```
  } while (millis() - start < ms);
```

```
}
```

```
static void print_int(unsigned long val, unsigned long invalid, int len)
```

```
{
```

```
  separatorVal--;
```

```
  char sz[32];
```

```
  if (val == invalid)
```

```
    strcpy(sz, "*****");
```

```
  else
```

```
    sprintf(sz, "%ld", val);
```

```
  strcat(gpsData, sz);
```

```
  print_separator();
```

```
  smartdelay(0);
```

```
}
```

```
static void print_float(float val, float invalid, int len, int prec)
```

GPS-vastaanottimen lähdekoodi (esproswifi.ino)

Liite 1 (6/7)

```

{
  separatorVal--;

  if (val != invalid)
  {
    char temp[32];
    dtostrf(val, 0, prec, temp);
    strcat(gpsData, temp);
    strcpy(temp, "");
  }
  else if (val == invalid)
  {
    strcat(gpsData, "*****");
  }
  print_separator();
  smartdelay(0);
}

static void print_date(TinyGPS &gps)
{
  separatorVal--;

  int year;
  byte month, day, hour, minute, second, hundredths;
  unsigned long age;
  gps.crack_datetime(&year, &month, &day, &hour, &minute, &second, &hun-
dredths, &age);
  if (age == TinyGPS::GPS_INVALID_AGE)
    strcat(gpsData, "*****");
  else
  {
    char sz[32];
    sprintf(sz, "%02d/%02d/%02d %02d:%02d:%02d",

```

GPS-vastaanottimen lähdekoodi (esproswifi.ino)

Liite 1 (7/7)

```
    month, day, year, hour, minute, second);
    strcat(gpsData, sz);
}
print_separator();
print_int(age, TinyGPS::GPS_INVALID_AGE, 5);
smartdelay(0);
}
```

```
static void print_str(const char *str, int len)
```

```
{
    separatorVal--;
```

```
    strcat(gpsData, str);
    print_separator();
    smartdelay(0);
```

```
}
```

```
void print_separator() {
```

```
    if (separatorVal > 0) {
        strcat(gpsData, ",");
    }
```

```
    else if (separatorVal <= 0)
```

```
    {
        separatorVal = 17;
```

```
    }
```

```
}
```

Muokattu Python-koodi (talker.py)

Liite 2

```
#!/usr/bin/env python
# license removed for brevity
import rospy
from std_msgs.msg import String

def talker():
    pub = rospy.Publisher('testdata', String, queue_size=10)
    rospy.init_node('carla_manual_control', anonymous=True)
    rate = rospy.Rate(10) # 10hz
    while not rospy.is_shutdown():
        hello_str = "hello world %s" % rospy.get_time()
        rospy.loginfo(hello_str)
        pub.publish(hello_str)
        rate.sleep()

if __name__ == '__main__':
    try:
        talker()
    except rospy.ROSInterruptException:
        pass
```